

بِنَمْ خَدا



مرکز دانلود رایگان  
محلبسوی مطالب فرزی و مواد

---

[www.Iran-mavad.com](http://www.Iran-mavad.com)



# سطوح بلوری و ساختار میکروسکوپی

اصولاً سه نوع مختلف سطح مشترک در سیستم های فلزی اهمیت دارد:

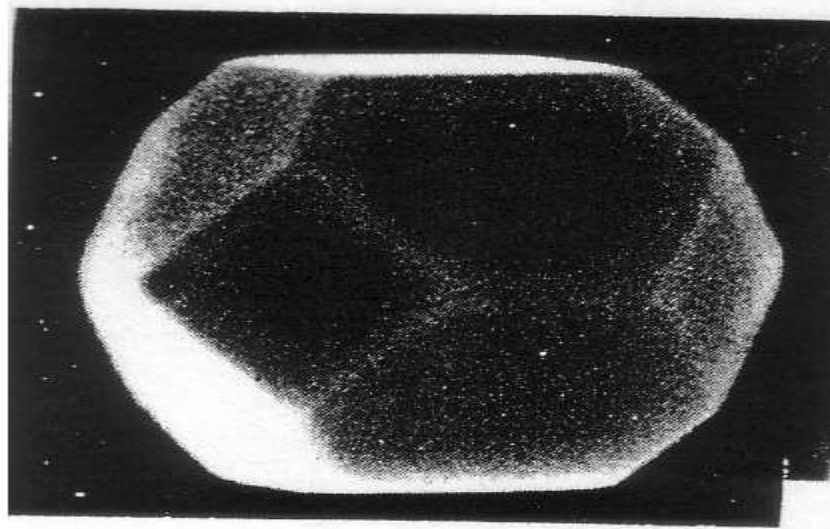
۱- سطح آزاد یک بلور (سطح مشترک جامد و بخار)

۲- مرز دانه ها (سطح مشترک  $\alpha/\alpha$ )

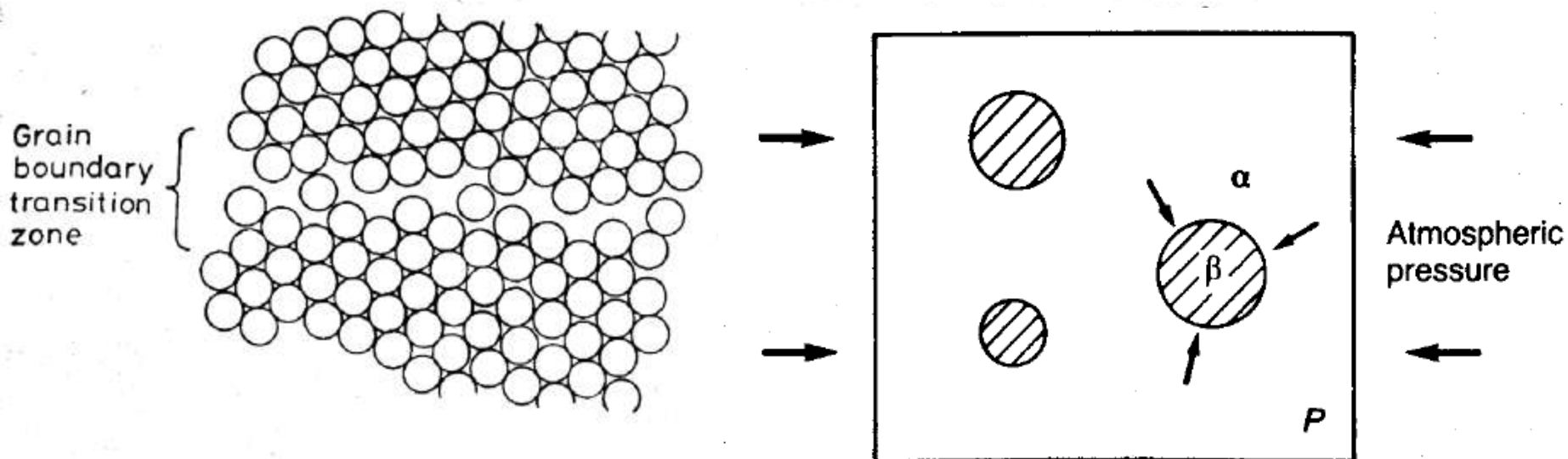
۳- سطح مشترک بین فازها (سطح مشترک  $\alpha/\beta$ )

تمام بلورها سطوح نوع اول را دارند. نوع دوم ، بلورهایی با ترکیب و ساختار بلوری یکسان، ولی جهات فضایی<sup>۱</sup> متفاوت را از همدیگر متمایز می کند. سطح مشترک سوم، دوفاز مختلف دارای ترکیب و یا ساختار بلوری متفاوت را از همدیگر جدا می کند. بنابراین سطح مشترک بین فاز جامد و مایع را نیز دربرمی گیرد.

بیشتر دگرگونی های فازی در فلزات براثر رشد جدید ( $\beta$ ) از تعدادی مکان های هسته گذاری در درون فاز مادر ( $\alpha$ ) انجام می شود- یک فرآیند هسته گذاری و رشد. بنابراین این سطح مشترک  $\alpha/\beta$  نقش بسیار مهمی در تعیین سینتیک دگرگونی های فازی برuehde دارد و مهمترین نوع سطوح از فهرست معرفی شده در بالا است. به هر حال این سطح از پیچیده ترین و ناشناخته ترین سطوح است، در نتیجه این بخش از کتاب با اولویت سطوح ساده تر از نوع اول و دوم آغاز می شود.



a. The free surface of a crystal (solid/vapour interface) [from Murr].



b. Grain boundaries ( $\alpha/\alpha$  i

c. Interphase interfaces ( $\alpha/\beta$  interfaces) [P&E].

سطح مشترک جامد/ بخار در بررسی پدیده تبخیر و یا میعان اهمیت دارد، در حالی که مرزهای دانه در تبلور مجدد مهم است که یک تبدیل و دگرگونی در دانه هایی با ساختار به شدت تغییر شکل یافته به دانه های جدید بدون تغییر شکل یافته است. با وجود اینکه هیچگونه فاز جدیدی در پدیده تبلور مجدد پدیدار نمی شود، ولی جنبه های مشترک زیادی با دگرگونی های فازی دارد.

اهمیت این سطوح مشترک محدود نمی شود به آنچه که دگرگونی اولیه می نامند . از آنجا که سطوح مشترک از ویژگی های تقریباً اساسی ساختار دگرگون یافته است دومین گام (آرام تر) در بیشتر دگرگونی ها، درشت شدن ریز ساختار و رشد دانه ها بوده که با گذشت زمان رخ می دهد. این دقیقاً مانند رشد دانه پس از دگرگونی تبلور مجدد است.

### ۱-۳ انرژی آزاد سطوح

صحبت از انرژی سطوح مشترک رایج است. در واقع آنچه که منظور است و به وسیله آزمایش اندازه گیری می شود، انرژی آزاد سطحی ( $\gamma$ ) است. انرژی آزاد یک سیستم دارای سطح مشترک A و انرژی آزاد  $\gamma$  بر واحد سطح ، عبارت است از:

$$G = G_0 + A\gamma \quad (3-1)$$

که در این رابطه  $G_0$  انرژی آزاد سیستم است با فرض اینکه تمام ماده موجود در سیستم خاصیت توده درون آن را داشته باشد. بنابراین لا انرژی آزاد اضافی<sup>۱</sup> ناشی از مواد روی سطوح و یا نزدیک سطوح است. همچنین این کمیت، مقدار کاری است که در  $T$  و  $P$  ثابت لازم است تا یک واحد از سطوح مشترک را ایجاد کند.

برای درک آسان (بهتر) موضوع، یک چهار چوب سیمی مانند شکل ۳-۱ و یک لایه نازک مایع کشیده شده روی آن را در نظر بگیرید. یک ضلع این چهار چوب قابل حرکت است. براساس تجربه به دست آمده، نیرویی مانند  $F$  بر واحد طول باید به این ضلع وارد شود تا آن را در موقعیت خود نگه دارد. اگر این نیرو فاصله کوتاهی را بپیماید، به گونه‌ای که سطح لایه نازک مایع به اندازه  $dA$  افزایش یابد، کار انجام شده به وسیله این نیرو عبارت از  $F.dA$  است. این کار انرژی آزاد سیستم را به اندازه  $dG$  افزایش می‌دهد و با توجه به رابطه ۳-۱ خواهیم داشت:

$$dG = \gamma dA + A d\gamma$$

به جای  $dG$ ، مقدار آن  $F.dA$  را قرار می‌دهیم.

$$F = \gamma + A \frac{d\gamma}{dA} \quad (3-2)$$

## 1. Excess free energy

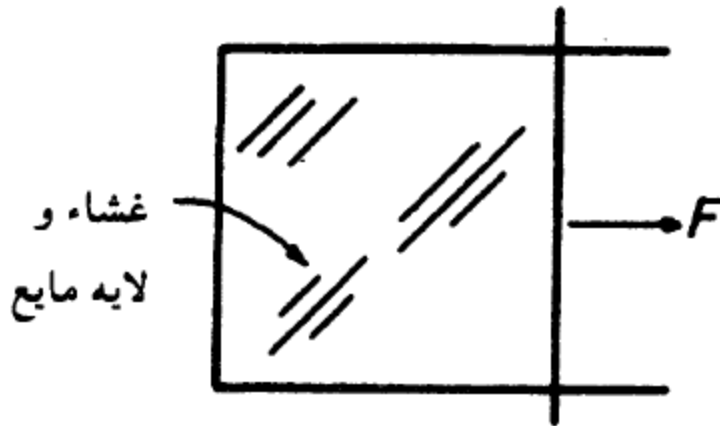
در مورد لایه‌ای نازک از مایع انرژی سطحی به آرایش یا نوع سطح بستگی ندارد. با این فرض نتیجه‌گیری می‌شود.

$$\frac{d\gamma}{dA} = 0$$

و در نتیجه رابطه مشهور زیر به دست می‌آید:

$$F = \gamma$$

(۳-۳)



شکل ۱-۳ غشای مایع روی چهار چوب سیمی

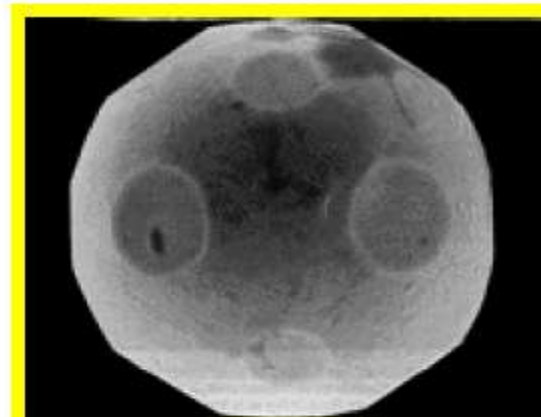
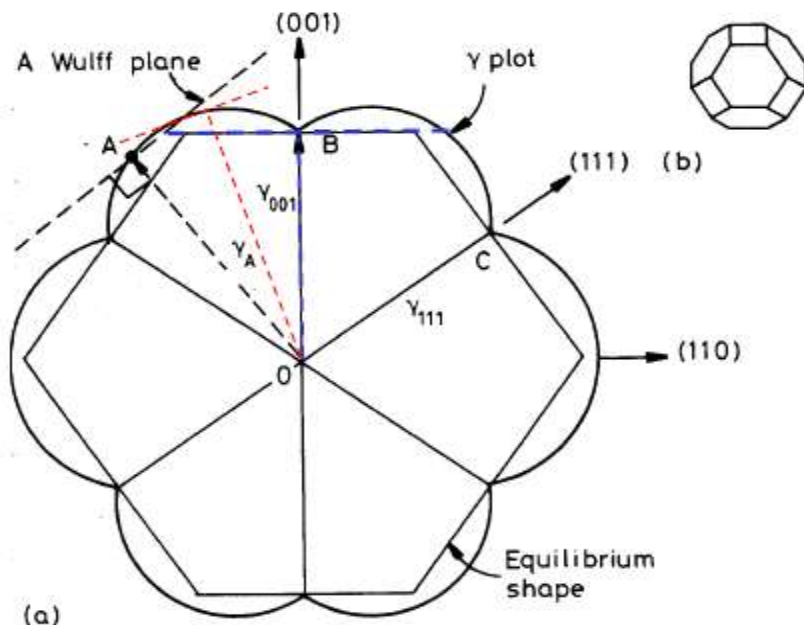
یعنی آنکه یک سطح با انرژی آزاد  $\gamma$  زول بر متر مربع کشش سطحی برابر  $\gamma$  نیوتون بر متر ایجاد می‌کند.

در مورد سطوح مربوط به جامدات ، این امر به روشنی آشکار نیست که ۷ به نوع و آرایش سطح وابسته است. از آنجا که مایع قادر به تحمل تنفس برشی نیست، اتم های درون مایع در فرآیند کشش می توانند نظم جدیدی به خود بگیرد، به طوری که ساختار سطحی ثابتی داشته باشد. جامدات چسبنده تراز مایعات است و انتقال یک اتم از توده و حجم درون آن به سطح بسیار بیشتر از مایع به طول می انجامد که برای ثابت نگه داشتن ساختار سطح لازم است. اگر این زمان نسبت به زمان آزمایش طولانی باشد در این صورت  $\frac{d\gamma}{dA} \neq 0$  و انرژی سطحی و کشش سطحی یکسان نخواهد بود. با این وجود در درجه حرارت های نزدیک به ذوب تحرک اتمی معمولاً بالاست و رابطه (۳-۳) صادق خواهد بود.

### ۳-۲ سطح مشترک بین جامد و بخار

با تقریب اولیه می توان ساختار سطح جامد را با مدل کره های سخت بیان کرد. اگر سطحی به موازات صفحه ای بلوری با اندازه میلر با اعداد کوچک باشد نظم و ترتیب اتمی مانند درون بلور خواهد بود بجز اینکه شاید تغییر جزئی در اندازه پارامتر شبکه ایجاد شود. (فرض بر این است که سطح

# equilibrium crystal shapes



Au at ~1000°C after Heyraud  
and Métois, J. Cryst. Growth  
50, 571 (1980)

The Wulff construction of the equilibrium shape is obtained by drawing a plane through each point on the  $\gamma$ -plot perpendicular to the line connecting that point to the origin. The body formed by all points reachable from the origin without crossing any of these planes is geometrically similar to the equilibrium shape.

Equilibrium: crystal shape determined by minimizing energy, E.  
For constant P, T, V and molar mass:

$$\sum_{i=1}^N A_i \gamma_i = \min. \quad (75)$$

$$\sum_{i=1}^N A_i \gamma_i = A_1 \gamma_1 + A_2 \gamma_2 + A_3 \gamma_3 + \dots \quad (76)$$

$$dE = 0 = \sum_{i=1}^N \gamma_i dA \quad (77)$$

### ۳-۳ مرزها در جامدهای تک فاز

دانه‌های یک فارچند بلوری<sup>۲</sup> می‌تواند جهات بی‌شماری را به خود بگیرد و بنابراین انواع مرزهای مختلف را ایجاد کند. طبیعت هر نوع مرزی به اختلاف جهت‌های بلوری دانه‌های مجاور یکدیگر بستگی دارد. شبکه‌های فضایی هر دو دانه مجاور می‌توانند با گردش زاویه مناسب نسبت به یک تک محور روی هم قرار گیرد. وضعیت محور چرخش مورد نظر نسبت به هر یک از دو دانه و یا صفحه مرز دانه، به آسانی مشخص نمی‌شود، ولی در دو حالت خاص این کار نسبتاً ساده است. این دو حالت عبارت از مرز کج خالص<sup>۳</sup> و مرز پیچشی خالص<sup>۴</sup> است که در شکل ۳-۶ نشان داده شده است. یک مرز کج زمانی به وجود می‌آید که محور دوران به موازات صفحه مرزی باشد (شکل ۳-۶، الف)، در حالی که در یک مرز پیچشی محور دوران دو دانه نسبت به هم عمود بر صفحه‌ی مرزی است (شکل ۳-۶، ب).

## Low angle grain boundaries ( $\text{misorientation} < 10^\circ$ )

Two extremes

TILT

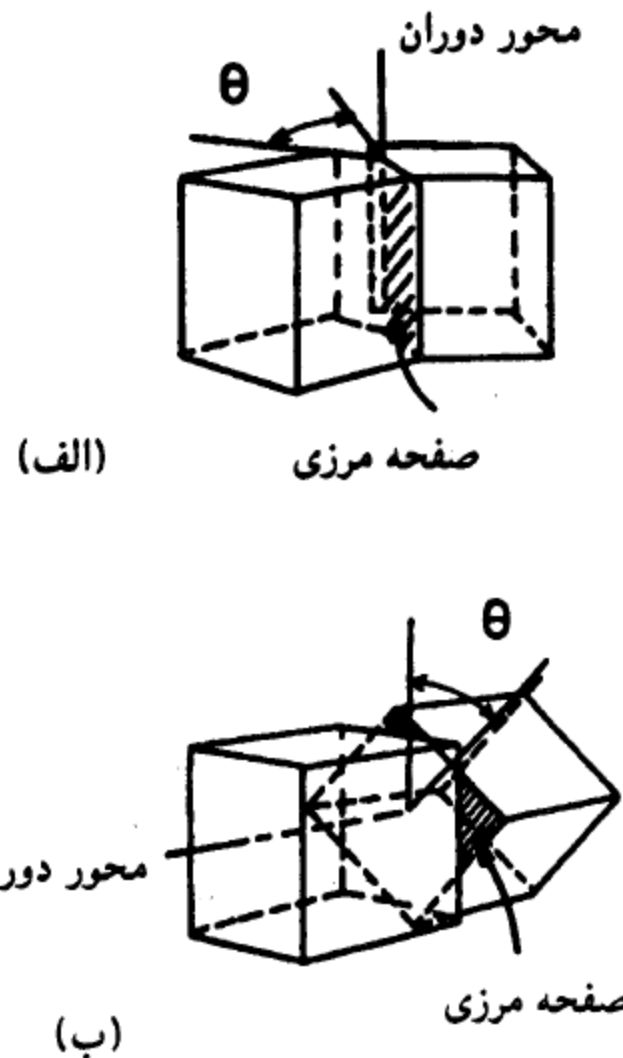
*An array of edge dislocations*

TWIST

*An array of screw dislocations*

Rotation axis lies on the■  
boundary plane

Rotation axis lies  $\perp$  to the■  
boundary plane



شكل ۳-۶: جهات نسبی بلورها و مرزهایی که تشکیل می‌دهد (الف) مرزکجی ب) مرز پیچشی

### ۱-۳-۳- مرزهایی با زاویه کوچک و زاویه بزرگ

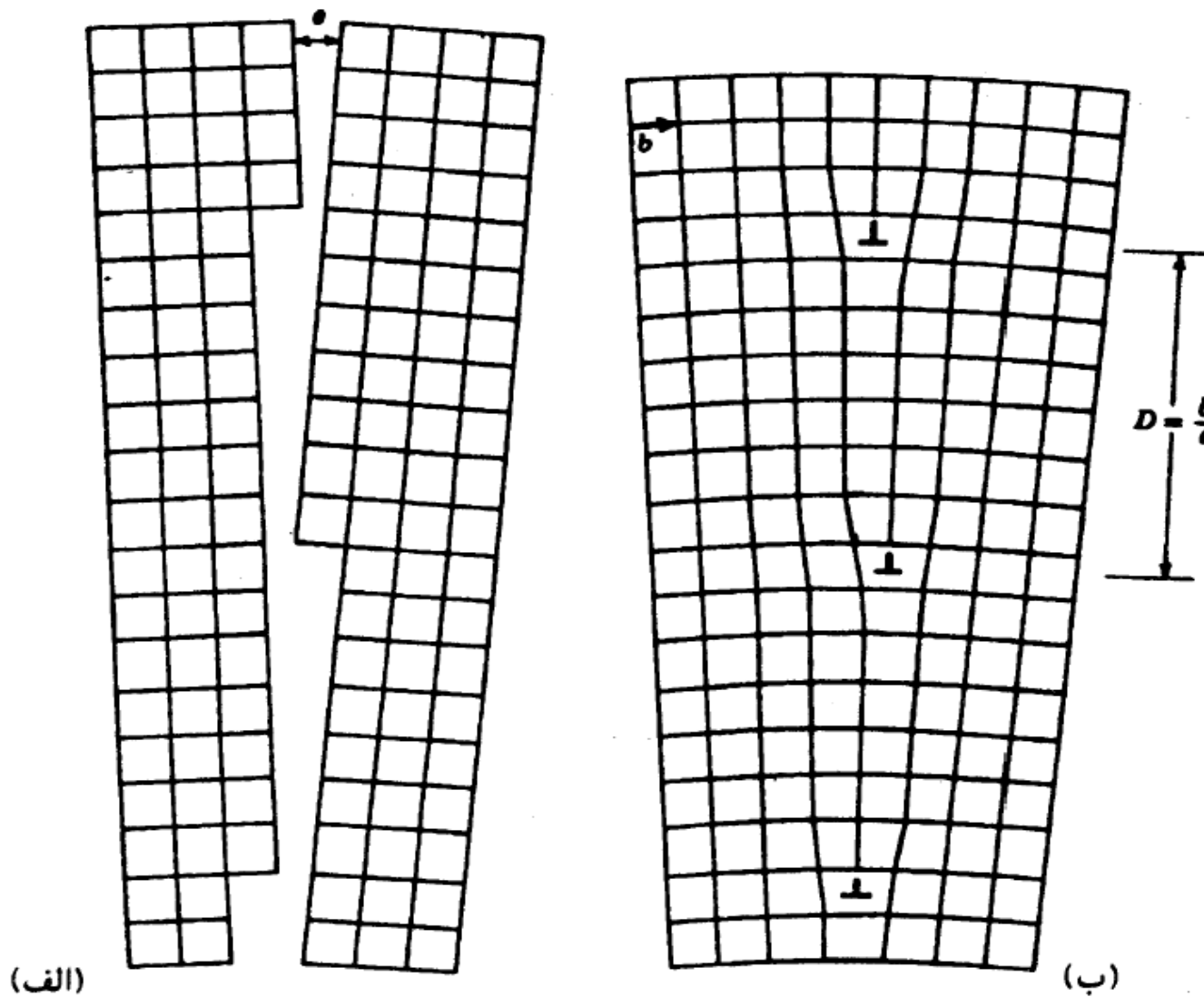
نخست ساده تر است حالت ناهمخوانی اندک جهات بین دو دانه را بررسی کنیم. می‌توان به آسانی این نوع مرز را ردیفی از نابجایی‌ها در نظر گرفت. دو نوع مرز ایده‌آل از این نوع در شکل ۳-۷ توضیح داده شده است. این لایه‌ها عبارت از مرز کج باز زاویه کوچک متقارن و مرز پیچشی با زاویه کوچک متقارن است. مرز کج با زاویه کوچک، ردیفی از نابجایی‌های پله‌ای موازی است، در حالی که مرز پیچشی ناشی از تقاطع دو مجموعه نابجایی پیچشی است. در هر دو مورد بالا اتم‌های واقع در مناطق بین نابجایی‌ها دقیقاً در شبکه‌ی بلوری هر دو دانه مجاور جفت است، در حالی که هسته نابجایی‌ها، مناطق همخوان ضعیفی است که ساختار بلور در آنجا دچار پیچش شدید شده است.

مرز کج لازم نیست که نسبت به دو دانه مجاور متقارن باشد، ولی چنانچه مرز نامتقارن باشد، نابجایی‌هایی با بُرا در بُرگر<sup>۱</sup> متفاوت بایسته است تا ناهمخوانی اتمی را جبران کند (شکل ۳-۸). به طور کلی مرزها می‌تواند آمیخته‌ای از مرزهای کج و پیچشی باشد، یعنی آنکه یک مرز باید مجموعه‌های متفاوتی از نابجایی‌های پیچشی و پله‌ای باشد.

---

\*. (W.T. Ead Jr, dislocation in Crystals , McGraw Hill , New York, 1953)

1. Burger's vector



ب) مرز پیچشی با زاویه کم :

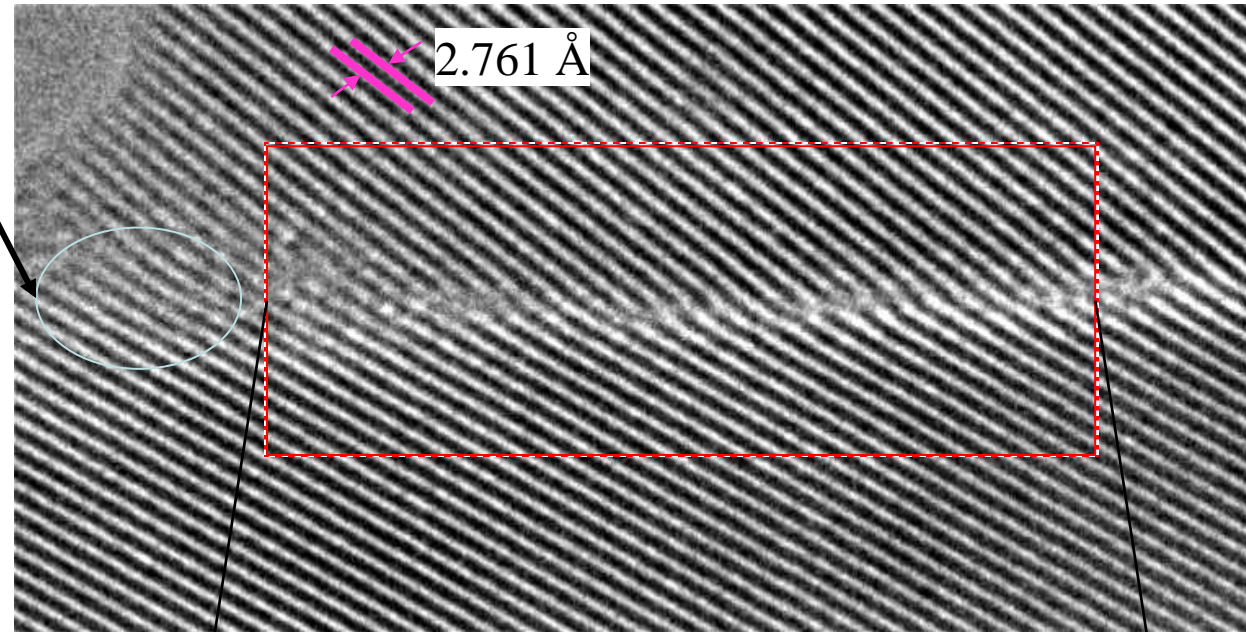
شكل ۳-۷ (الف) مرز کج با زاویه کم

$O$  اتم های درون بلور زیر مرز \* اتم های درون بلور بالای مرز \*

# ~8° TILT BOUNDARY IN SrTiO<sub>3</sub> POLYCRYSTAL

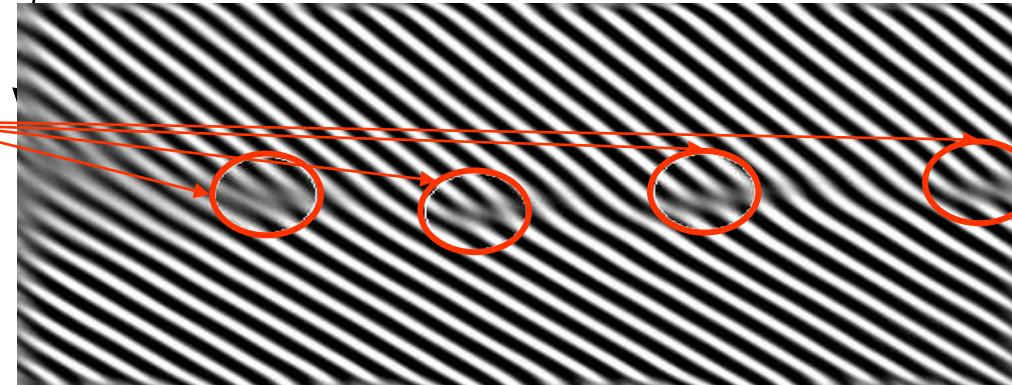
مرجع دانشجویان و مهندسین مواد

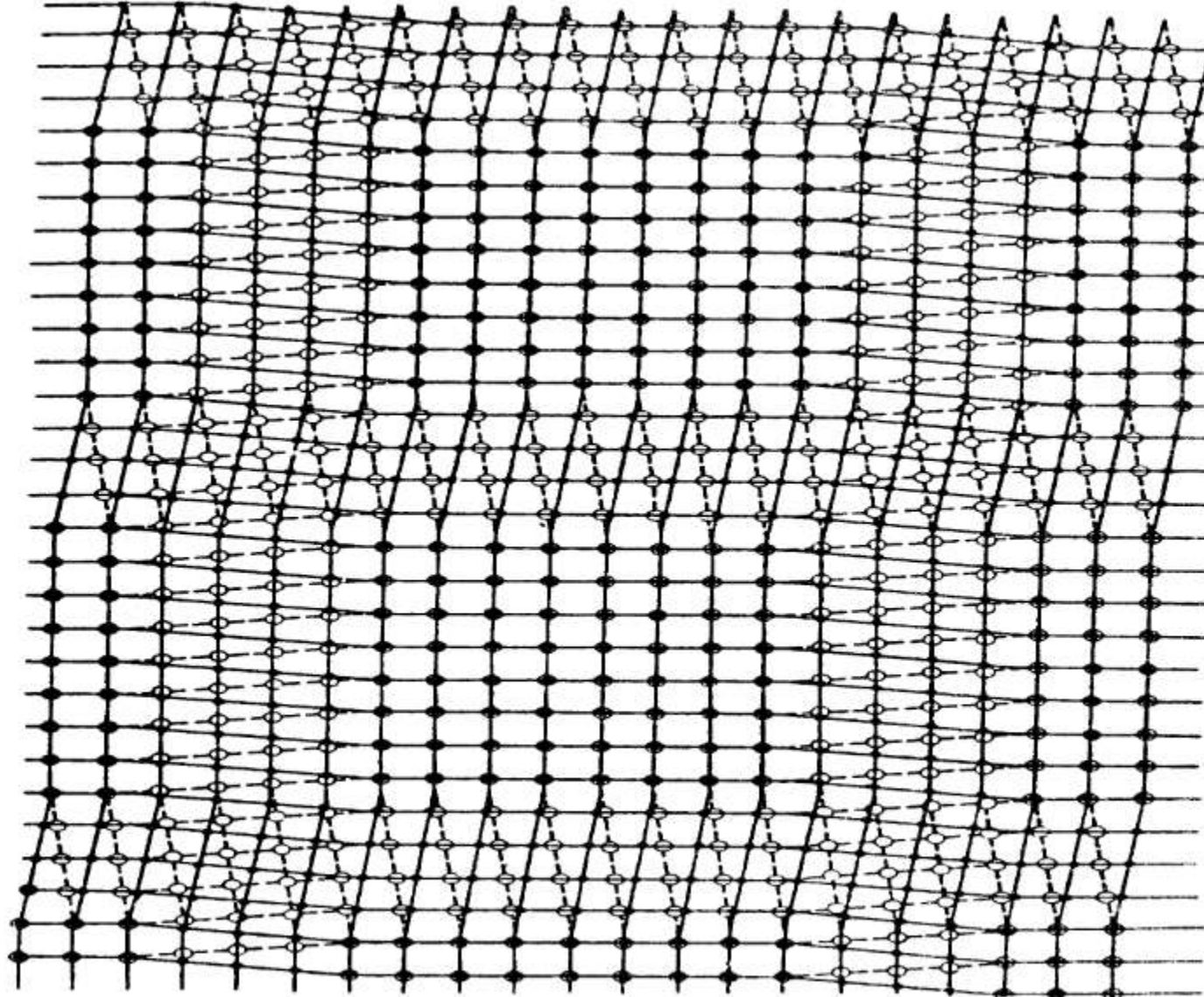
No visible  
Grain  
Boundary



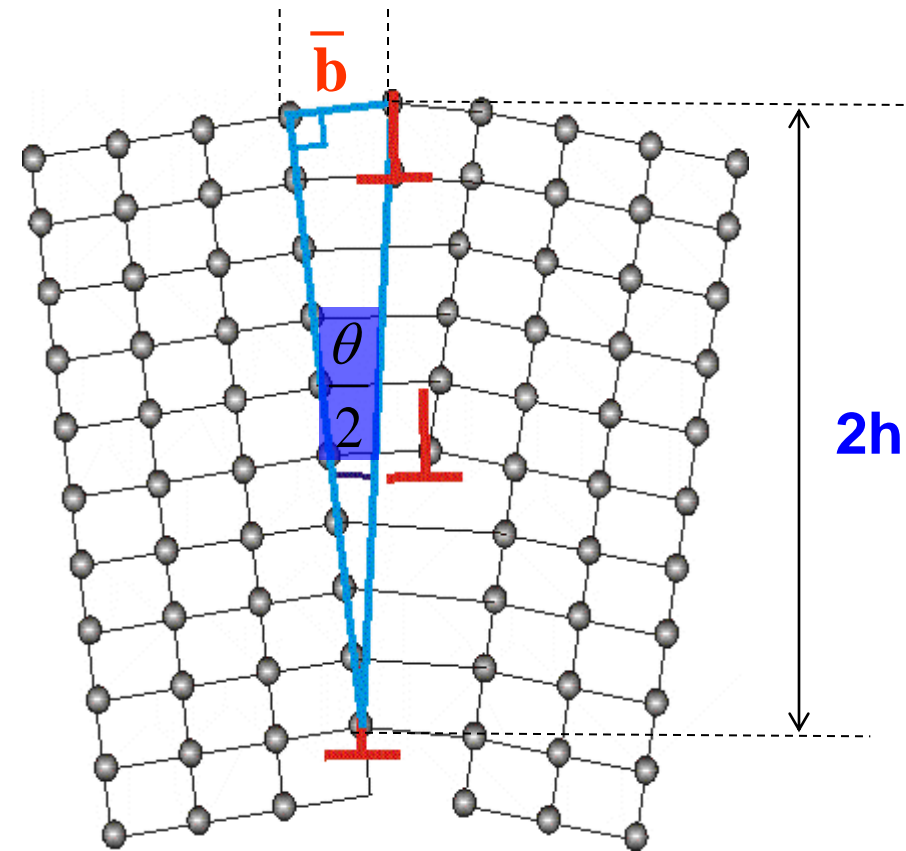
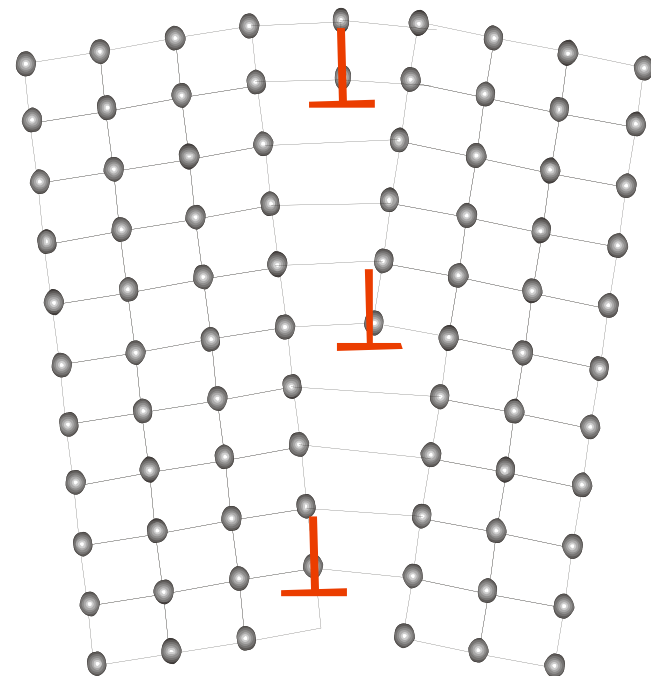
Fourier filtered image

Dislocation  
structures at  
the Grain  
boundary





شکل ۳-۷ : (ب)



$$\frac{b}{2h} = \sin\left(\frac{\theta}{2}\right)$$

$$\frac{b}{h} \sim \theta$$

$$\frac{b}{h} = \tan \theta$$

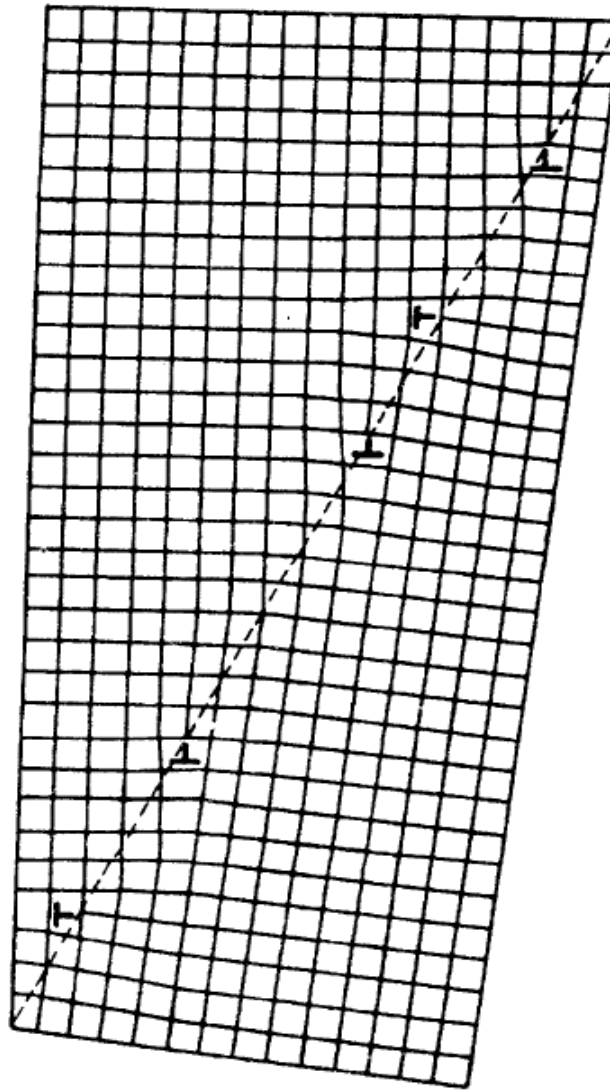
Book

انرژی مرز دانه‌ای با زاویه کوچک برابر مجموع انرژی نابجایی‌های موجود واحد سطح در مرز است. ( برای رعایت اختصار از این پس اختلافی بین انرژی درونی و انرژی آزاد قائل نمی‌شویم، مگر آنکه برای درک بهتر بایسته باشد). این انرژی به فاصله و فضای میانگین نابجایی‌ها بستگی دارد. برای مثال، ردیف ساده شکل ۳-۷، الف را در نظر بگیرید که با رابطه زیر داده شده است:

$$D = \frac{b}{\sin \theta} \approx \frac{b}{\theta} \quad (3-9)$$

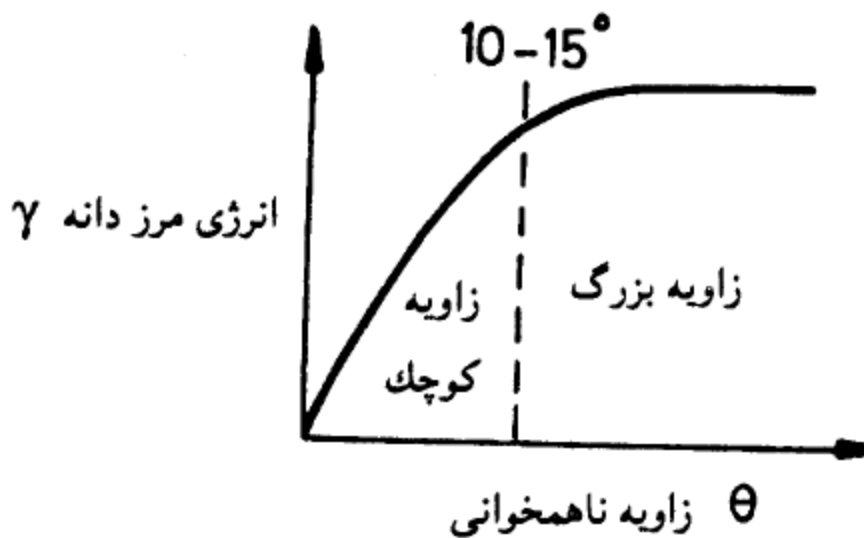
که در رابطه بالا  $b$  بُردار بُرگر نابجایی‌ها و  $\theta$  زاویه ناهمخوانی در طول مرز است. در  $\theta$ ‌های بسیار کوچک فاصله بین نابجایی‌ها بسیار بزرگ است و انرژی مرزی ( $\gamma$ ) تقریباً متناسب با دانسیته نابجایی‌ها در مرز است  $(\frac{1}{D})$  ، یعنی

$$\gamma \propto \theta \quad (3-10)$$



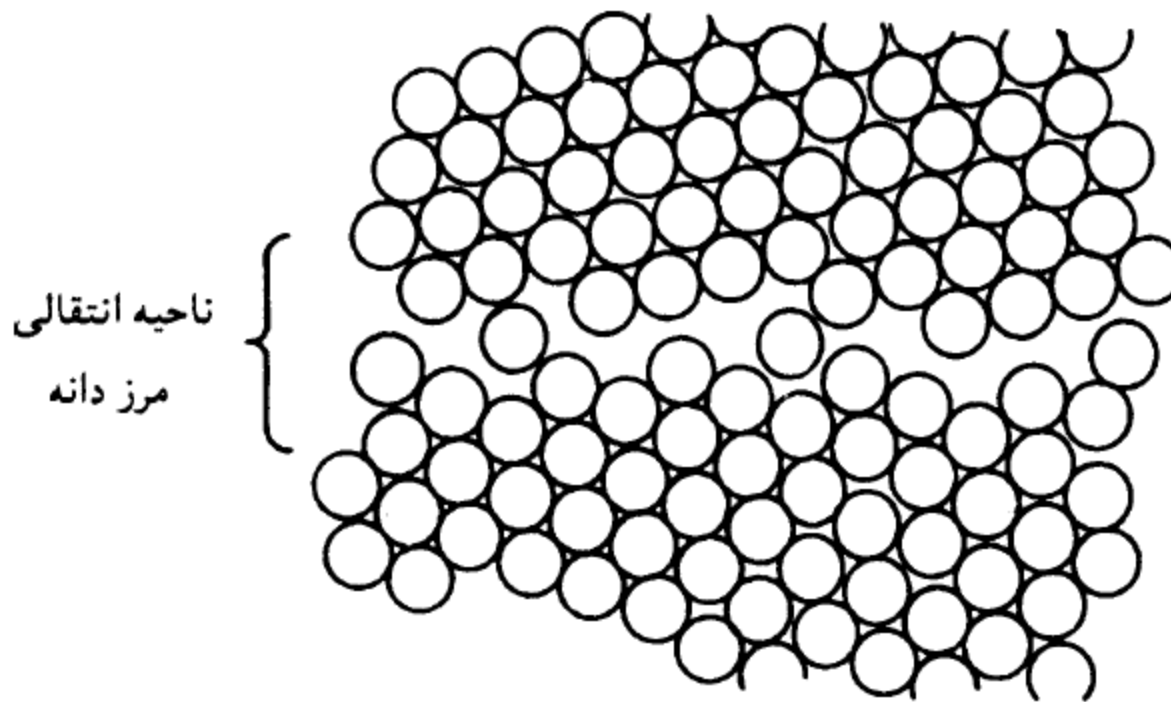
شکل ۳-۸: یک مرز کج نامتقارن که نابجای‌ها با دو نوع بُردار بُرگر مختلف حضور دارد\*

اما با افزایش زاویه  $\theta$  چون میدان کرنشی نابجایی‌ها به تدریج همیگر را خنثی می‌کند و  $\gamma$  نسبت به  $\theta$  با نرخ کاهنده‌ای افزایش می‌یابد، به گونه‌ای که در شکل ۳-۹ نشان داده شده است. عموماً هنگامی که  $\theta$  از  $10$  تا  $15$  درجه بیشتر شود، فواصل نابجایی‌ها به اندازه‌ای کوچک می‌شود که هسته آنها روی هم قرار گرفته و تشخیص این نابجایی‌ها از همیگر به طور فیزیکی میسر نیست (شکل ۳-۱۰ را ببینید). در این مرحله، انرژی مرز دانه تقریباً از ناهمخوانی جهات مستقل می‌شود (شکل ۳-۹).

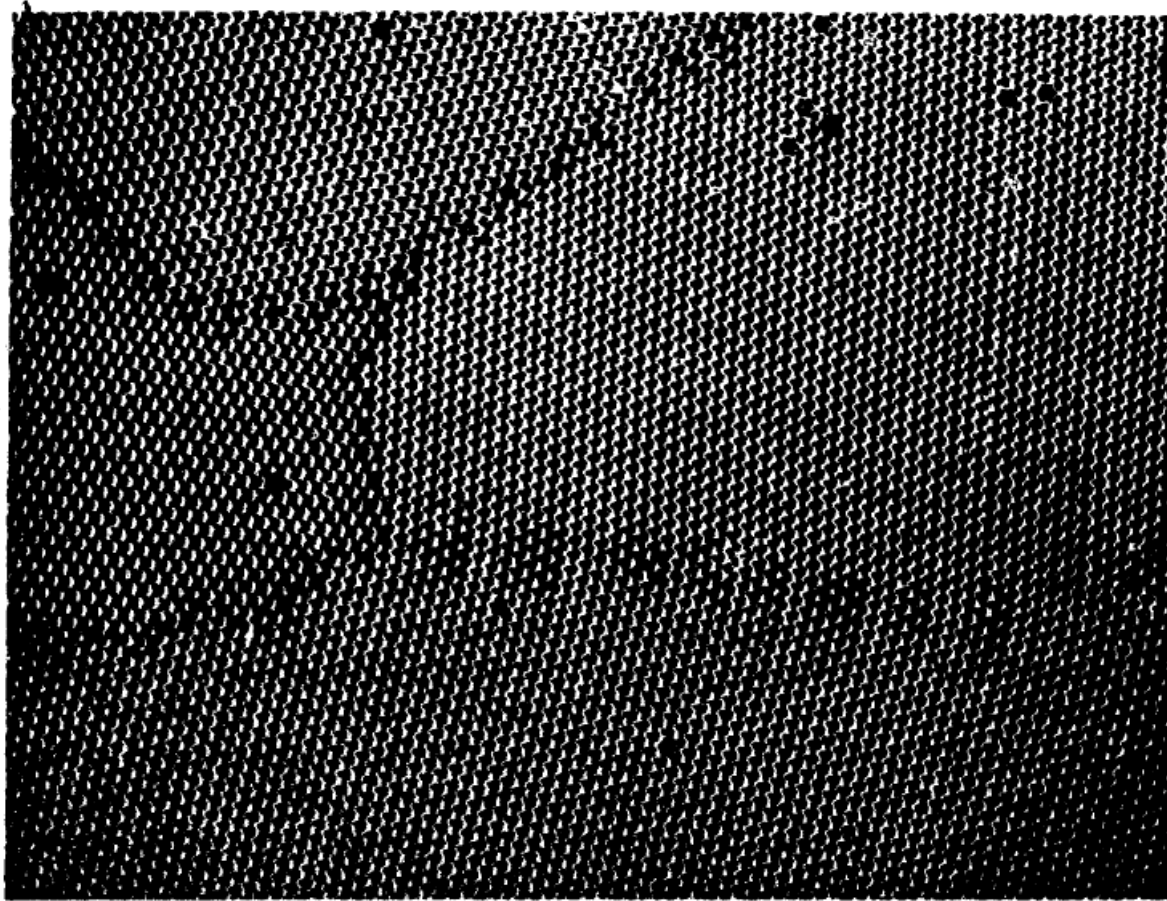


شکل ۳-۹: تغییرات انرژی آزاد مرز دانه نسبت به  $\theta$

هنگامی که  $\theta$  بزرگ تر از  $10-15$  درجه باشد، مرز به نام مرز دانه با زاویه بزرگ تصادفی خوانده می شود. شاید بتوان تفاوت بین ساختار مرزهای با زاویه کوچک و با زاویه بزرگ را به وسیله مدل حباب های کف صابون شناور نشان داد ( شکل ۳-۱۱ ).



شکل ۳-۱۰: ساختار بی نظم مرز دانه ها



شکل ۱۱-۳: دسته حباب‌های صابون شناور که چندین دانه با میزان انحراف متفاوت از یکدیگر را نشان می‌دهد. توجه داشته باشید که مرزهایی با کمترین انحراف از ردیف هایی از نابجاوی تشکیل شده است، در حالی که مرزهایی با زاویه بزرگ ساختاری نامنظم دارد که در آنها نابجاوی های منفرد قابل تشخیص نیست.\*

مرزهایی با زاویه بزرگ، مناطق نسبتاً بزرگی از همخوانی ضعیف و ساختار نسبتاً باز را در بر می‌گیرد. پیوند اتم‌ها شکسته یا به شدت پیچیده و تغییر شکل داده است، و در نتیجه مرزها انرژی نسبتاً بالایی دارد. در مرزهای با زاویه کوچک تقریباً بیشتر اتم‌های مرزی در هر دو شبکه دانه‌های مجاور همخوان است، بنابراین حجم آزاد اندکی وجود دارد و پیچیدگی پیوندهای اتمی کم است. نواحی همخوان ضعیف منحصر به هسته نابجایی‌ها است که همانند مرزهایی با زاویه بزرگ نسبت به دیگر ناحیه‌ها از انرژی بالاتری برخوردار است.

انرژی مرزهای با زاویه بزرگ ( $\gamma_b$ ) را می‌توان با تخمین زیر به دست آورد.

$$\gamma_b \approx \frac{1}{3} \gamma_{sv} \quad (3-11)$$

مقادیر  $\gamma_b$  و  $\gamma_b / \gamma_{sv}$  برای برخی از فلزات در جدول ۳-۲ ارائه شده است. همانند انرژی سطحی،  $\gamma_b$  نیز کمیّتی وابسته به درجه حرارت است و با افزایش درجه حرارت مقدار آن کاهش می‌یابد.

## جدول ۳-۲

انرژی آزاد مرز دانه ها که به روش آزمایشگاهی اندازه گیری شده است \*

$\gamma_b / \gamma_{sv}$	T/°C	$\gamma_b / \text{mJ m}^{-2}$	بلور
۰/۲۴	۲۲۳	۱۶۴	Sn
۰/۳۰	۴۵۰	۳۲۴	AL
۰/۳۳	۹۵۰	۳۷۵	Ag
۰/۲۷	۱۰۰۰	۳۷۸	Au
۰/۳۶	۹۲۵	۶۲۵	cu
۰/۴۰	۱۳۵۰	۷۵۶	$\gamma$ -Fe
۰/۲۳	۱۴۵۰	۴۶۸	$\delta$ -Fe
۰/۲۹	۱۳۰۰	۶۶۰	Pt
۰/۴۱	۲۰۰۰	۱۰۸۰	W

### ۳-۳-۲ مرزهایی با زاویه بزرگ ویژه

تمامی مرزهای با زاویه بزرگ دارای ساختار نامنظم باز نیست. انواعی از مرزهای با زاویه بزرگ ویژه وجود دارد که دارای انرژی بسیار کمتری نسبت به مرزهای با زاویه بزرگ تصادفی است. این مرزها فقط به صورت ناهمخوان در جهت‌ها و صفحه‌های مرزی خاصی به وجود می‌آید، به‌گونه‌ای که دو شبکه مجاور یکدیگر می‌توانند با کمترین مقدار پیچش در پیوندهای اتمی با هم جفت شود.

ساده‌ترین مرزها با زاویه بزرگ ویژه مرز بین دو قلوهای است. اگر مرز دو قلو موازی صفحه دو قلو باشد، اتم‌های مرزی کاملاً در شبکه هر دو دانه همخوان است. نتیجه این امر یک مرز دوقلوی همبسته<sup>۱</sup> است همانند آنچه در شکل ۳-۱۲، الف نشان داده شده است. در فلزات fcc صفحه‌ی متراکم {۱۱۱} یکی از این صفحه‌های ویژه است. زیرا اتم‌ها در چنین مرزی در موقعیت تغییر شکل نیافته‌ای قرار دارد، انرژی یک مرزی دوقلوی همبسته به طور فوق العاده‌ای نسبت به یک مرز با زاویه تصادفی، کوچک است.

## Twin Boundary

The atomic arrangement on one side of the twin boundary is related to the other side by a symmetry operation (usually a mirror)

Twin boundaries usually occur in pairs such that the orientation difference introduced by one is restored by the other

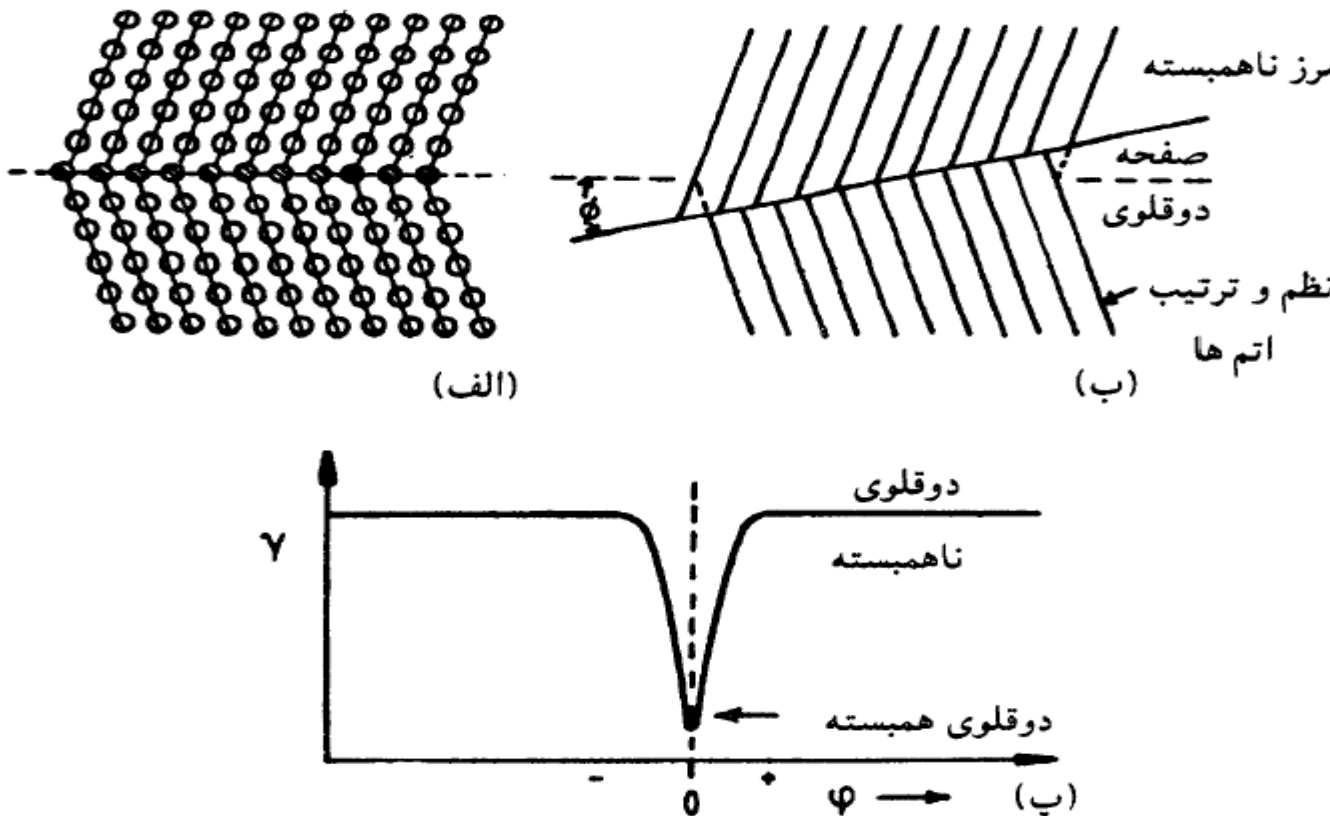
The region between the regions is called the twinned region

Twin

Annealing twins (*formed during recrystallization*)

Deformation twins (*formed during plastic deformation*)

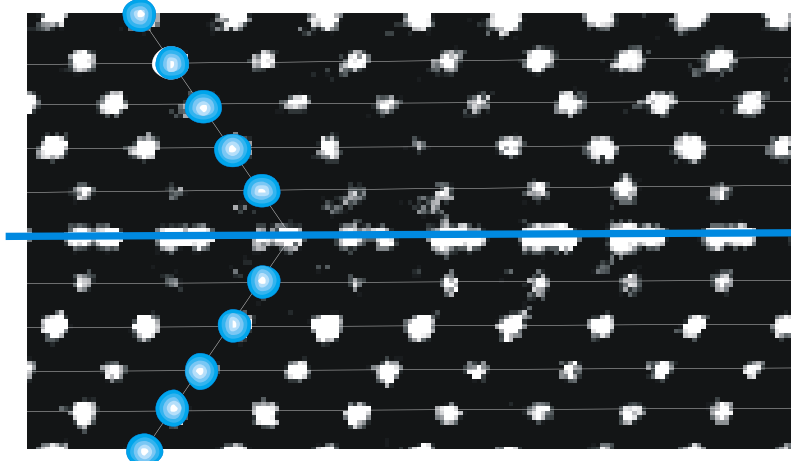
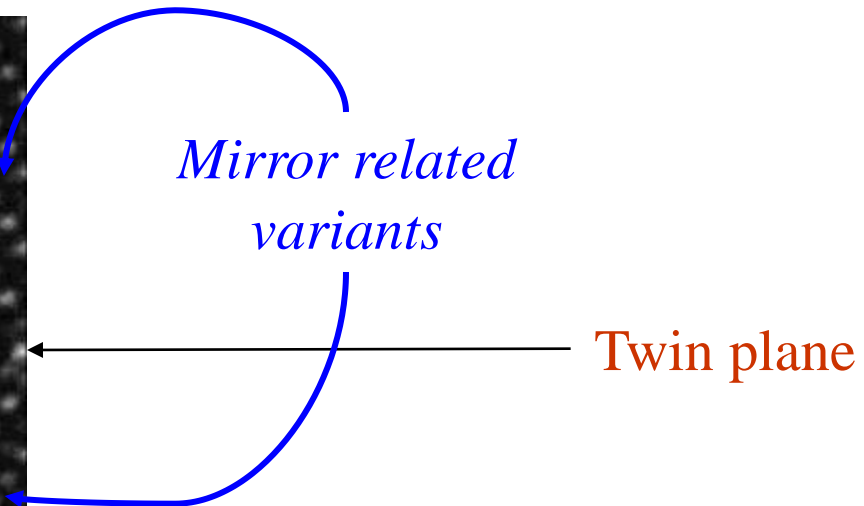
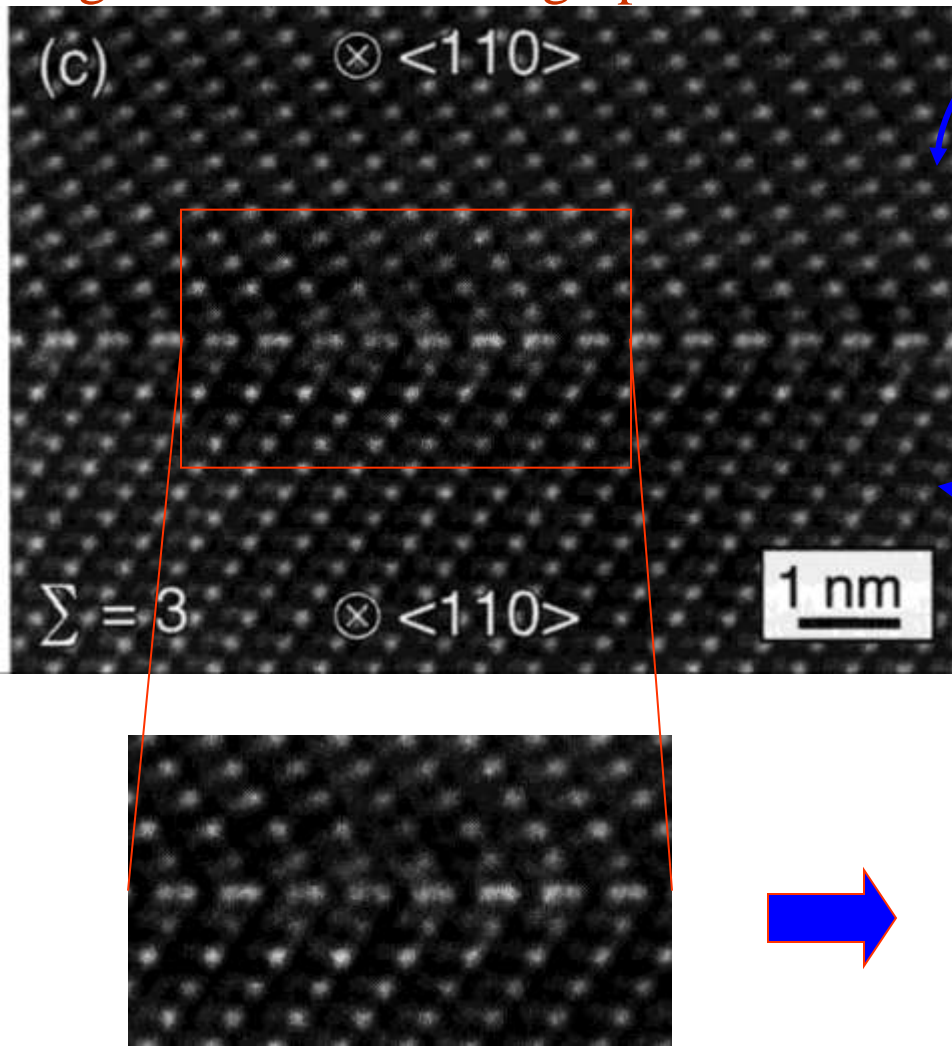
اگر مرز دو قلو کاملاً به موازات صفحه دو قلو نباشد (شکل ۳-۱۲، ب)، اتم‌ها دقیقاً در شبکه فضایی هر دو دانه جفت نمی‌شود و انرژی مرزی بسیار بالاتر است. این نوع مرز را دوقلوهای ناهمبسته می‌نامند. بنابراین انرژی سطحی یک مرز دو قلو به جهت صفحه مرزی بسیار حساس است.



شکل ۳-۱۲: (الف) یک مرز دو قلوی همبسته      (ب) یک مرز دو قلوی ناهمبسته      (پ) انرژی مرزی دو قلو به صورت تابعی از جهت مرز دانه ها

# Twin boundary in Fe doped SrTiO<sub>3</sub> bicrystals (*artificially prepared*)

## High-resolution micrograph



اگر ۷ را نسبت به جهت مرز رسم کنیم کمینه‌ای نیز مربوط به موقعیت مرز همبسته پدیدار می‌شود (شکل ۱۲-۳، پ) در جدول ۳-۳ نتایج آزمایشگاهی مربوط به اندازه‌گیری مرزهای دوقلوی همبسته و ناهمبسته و مقایسه آنها با مرزهای تصادفی ارائه شده است.

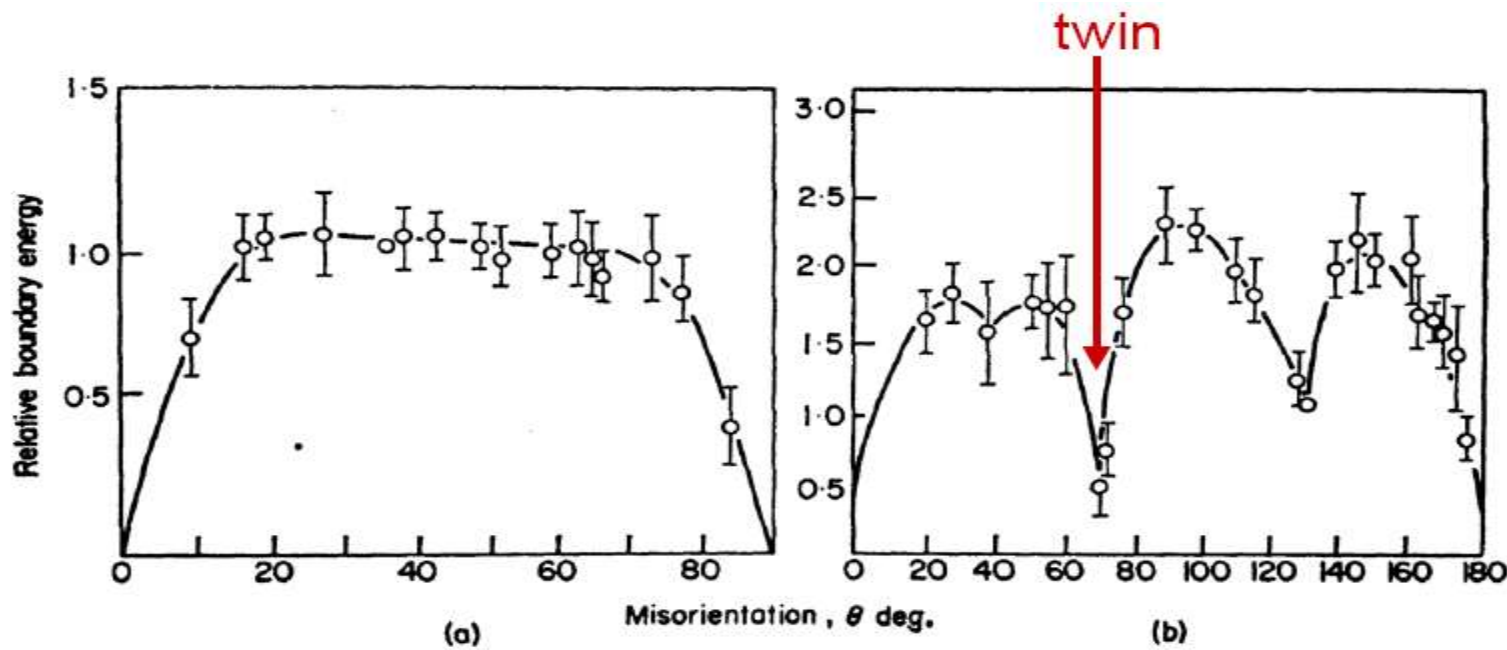
جدول ۳-۳

\* انرژی آزاد مرزهای دوقلو ( $mJ/m^2$ )

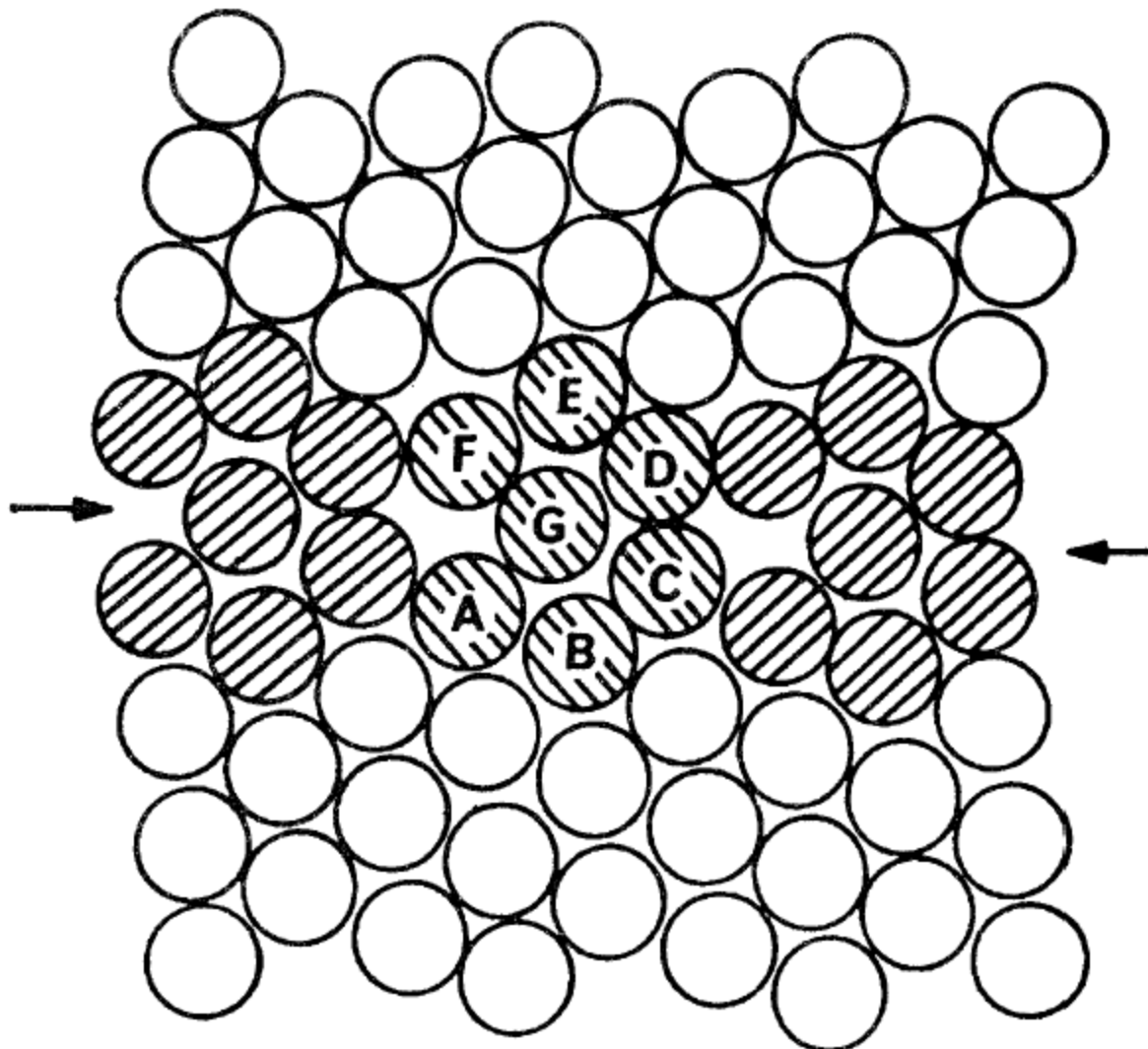
بلور	انرژی مرزی دوقلوی همبسته	انرژی مرزی دوقلوی ناهمبسته	انرژی مرز دانه تصادفی
Cu	۲۱	۴۹۸	۶۲۳
Ag	۸	۱۲۶	۳۷۷
Fe-Cr-Ni	۱۹	۲۰۹	۸۳۵
فولاد ضد زنگ نوع			۳۰۴

آرایش دوقلو در فلزات fcc مرتبط به ناهمسویی برابر  $70/5$  درجه پیرامون یک محور  $<110>$  است. بنابراین مرز دوقلو، مرزی با زاویه بزرگ ویژه است و یک مرز دوقلوی همبسته مرزی متقارن کج بین دو بلور دوقلو است. شکل ۳-۱۳ انرژی اندازه‌گیری شده انواع مرزهای کج متقارن را در آلومینیم نشان می‌دهد. هنگامی که دو دانه با دوران پیرامون محور  $<110>$  به هم مرتبط شود، چندین جهت با زاویه بزرگ وجود دارد که نسبت به مرزهای تصادفی انرژی بسیار کمتری دارد (شکل ۳-۱۳، ب) برای مثال  $\theta = 70/5$  مربوط به مرز دوقلوی همبسته‌ای است که پیش از این اشاره شد، ولی مرزهای کم انرژی دیگر نیز وجود دارد. دلیل وجودی این مرزهای کم انرژی دیگر بخوبی شناخته نشده است. به هر حال می‌توان این فرض را بخرا دانه داشت که ساختار اتمی این مرزها شرایط همخوانی و جفت شدن مناسبی با شبکه بلورهای دو دانه دارد. یک مثال دو بعدی دارد شکل ۳-۱۴ نشان داده شده است. این تصویری فرضی از یک مرز کج متقارن بین دو دانه با زاویه ناهمسویی  $2/38^{\circ}$  است. اتم‌های مرزی به خوبی در هر دو دانه جفت شده و حجم آزاد اندکی باقی گذاشته است. از آن گذشته، مجموعه‌ای کوچک از اتم‌ها (کره‌های سایه دار) در فواصل منظم

در طول مرز تکرار شده است.



شکل ۱۳-۳: انرژی مرزی اندازه‌گیری شده برای مرز کجی متقارن در  $Al$  (الف) هنگامی که محور چرخش به موازات جهت‌های  $\langle 100 \rangle$  است، ب) هنگامی که محور چرخش به موازات جهت‌های  $\langle 110 \rangle$  است\*.

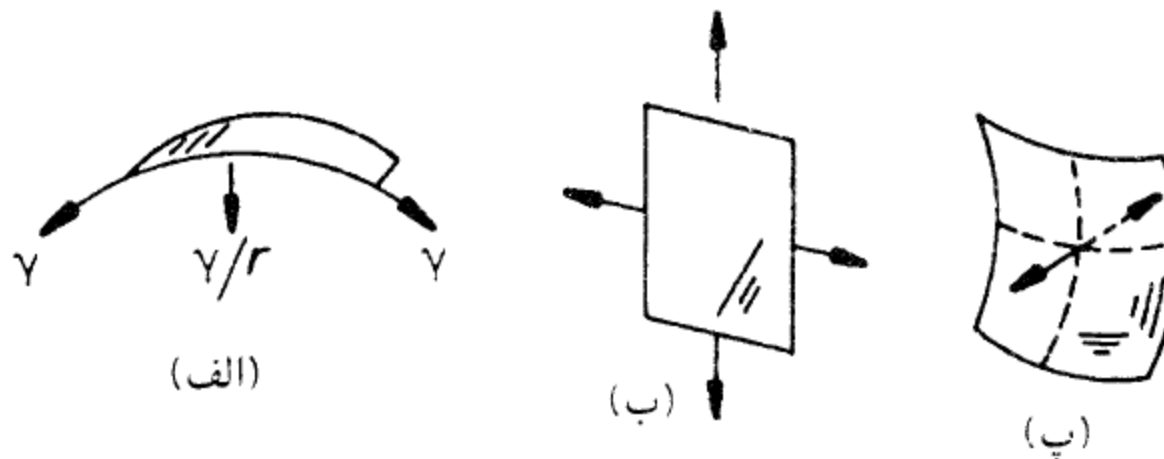


\* \* شکل ۱۴-۳: مرز دانه‌های ویره\*

### ۳-۳-۴ تحرک حرارتی<sup>۱</sup> مرز دانه ها

در فصل پیش نشان داده شده که نیمه پایدار مانند در اتصال مرز دانه ها به شرایط حاکم لازم بر زوایای به وجود آمده در برخورد مرزها نیاز دارد. برای سادگی فرض کنیم که تمام مرز دانه های موجود در یک چند بلور مستقل از آرایش آنم ها در مرز دانه دارای انرژی برابر باشد، بنابر رابطه ۳-۱۲ باید  $\theta_1 = \theta_2 = \theta_3 = 120^\circ$  همچنین می توان نشان داد که زوایای فضایی گوشه های مرزها باید برابر  $109/28^\circ$  درجه باشد که از برخورد چهار دانه در فضا تشکیل می شود. اگر این شرایط یا شرایط زاویه ای همانند یاد شده برقرار باشد، بنابراین تعادل نیمه پایداری در تمام محل های تلاقی مرز دانه ها برقرار می شود. به هر حال برای اینکه یک دانه بندی در تعادل نیمه پایدار کاملی قرار گیرد تمام کشش های سطحی در اتصال ها باید متوازن و در تعادل باشد. اگر یک مرز دارای انحنایی مانند سطح یک استوانه باشد (شکل ۳-۲۰، الف) نرسویی به اندازه  $\Gamma/\pi$  که جهت آن به سوی مرکز انحنا است، روی آن ورد می شود. بنابراین تنها راه هماهنگ کردن نیروهای سطحی مرزها این است که تمام مرزها مسطح ( $\Gamma = \infty$ ) شود و یا انحنایی دو جانبی با شعاع های برابر و عکس همدیگر داشته باشد (شکل ۳-۲۰ ب و پ).

#### 1. Thermally activatived migration

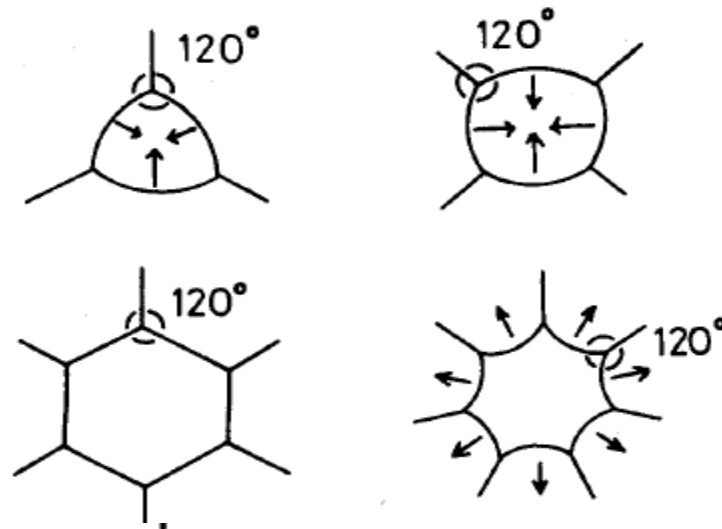


شکل ۳-۲۰: (الف) یک مرز استوانه‌ای با شعاع انحنای  $r$  از نیروی  $\sigma/\sqrt{r}$  متأثر است. ب) یک مرز مسطح بدون نیروی برآیند. پ) یک مرز با انحنای مضاعف بدون نیروی برآیند

به طور تقریبی امکان پذیر است که یک بلور سه بعدی را با کرد که در آن نیروهای کششی در تمام وجهه و اتصال ها در نعادی باشد. ولی در یک مجموعه چند بلور تصادفی مانند نمونه های متالوژیکی واقعی هسواره مرزهایی وجود دارد که دارای انحنایی با برآیند غیر صفر در یک جهت هست. در نتیجه مرزهایی تصدیق ذاتی برآیدار است و در فرآیند تاباندن در درجه حرارت های بالا، نیروهای خنثی نشده حرکت مرزهای به سوی مرکز انحنای را سبب می شود.

اثر انحدارهای مختلف در دو بعد در شکل ۳-۲۱ نمایش داده شده است. دوباره برای ساده تر شدن موضوع فرض شده است که تعادل در انحصارهای مرزها در زاویه  $120^\circ$  به وجود می آید. بنابراین اگر یک مرز دارای شش وجه باشد، برای آنکه ساختاری نیمه پایدار داشته باشد، همگی باید مسطح باشد به هر حال اگر تعداد وجوه در پیرامون یک دانه کمتر از ۶ بوده، همگی باید دارای تقریر و به درون باشد (شکل ۳-۲۱).

## grain growth: effect of grain boundary curvature

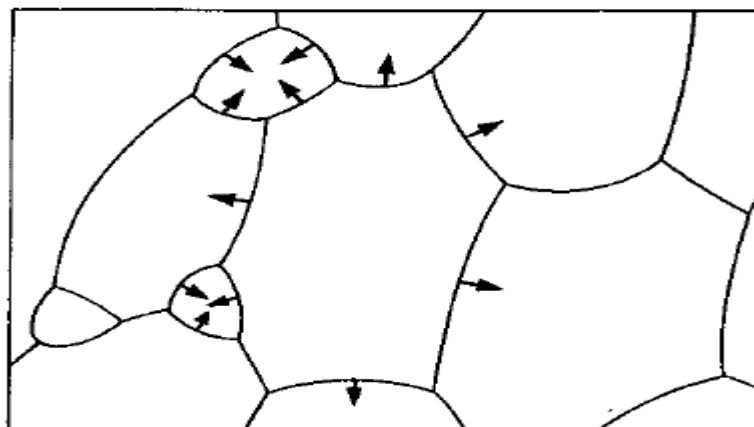


شکل ۳-۲۱: تصویر دو بعدی مرز دانه ها. پیکان ها جهت مرزهای را نشان می دهد که در طول رشد دانه ها حرکت می کند.

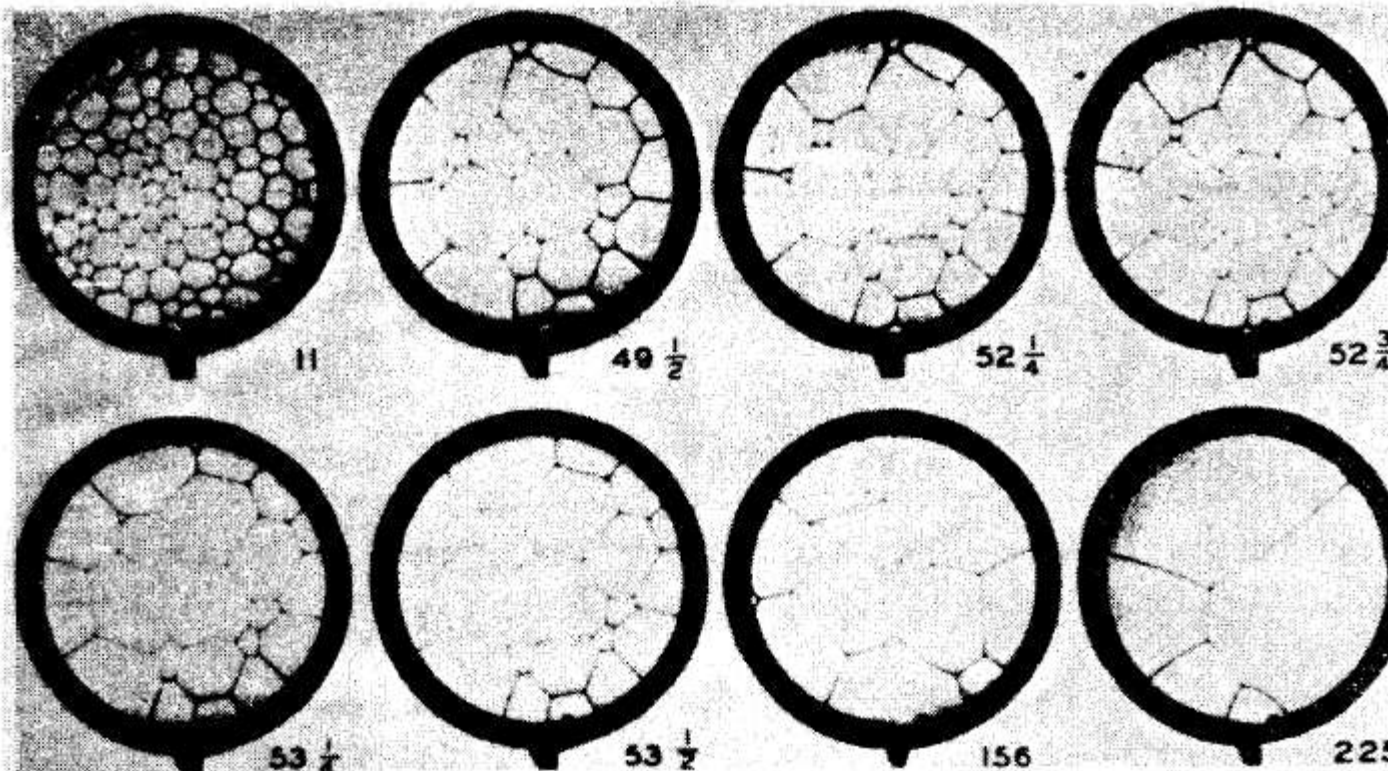
بنابراین مرزها منقیض و کوچک شده و سرانجام در فرآیند تابکاری ناپدید می‌شود. از سوی دیگر دانه‌های بزرگ‌تر بیش از شش مرز دارد و رشد خواهد کرد. نتیجه نهایی چنین جایه‌جایی های مرزها این است که مقدار و تعداد مرزها با بزرگ‌شدن اندازه متوسط دانه‌ها کاهش یابد و انرژی کلی مرزها کم می‌شود. این پدیده به نام رشد دانه<sup>۱</sup> موسوم است و در فلزات در درجه حرارتی بالای  $1/2$  درجه حرارت ذوب بر حسب درجه کلوین رخ می‌دهد که میزان تحرک مرزها شایان توجه می‌شود. همانند سازی مناسب برای پدیده بالا رشد حباب‌های صابون است که در شکل ۳-۲۲ نشان داده شده است.

در مورد سلول‌های حباب‌های صابون، فشار بالاتر در جهت مقعر غشا، هوای درون حباب‌های کوچک‌تر را به نفوذ از غشا به درون سلول‌های بزرگ‌تر وامی دارد و سرانجام حباب‌های کوچک‌تر

### grain growth: competitive process

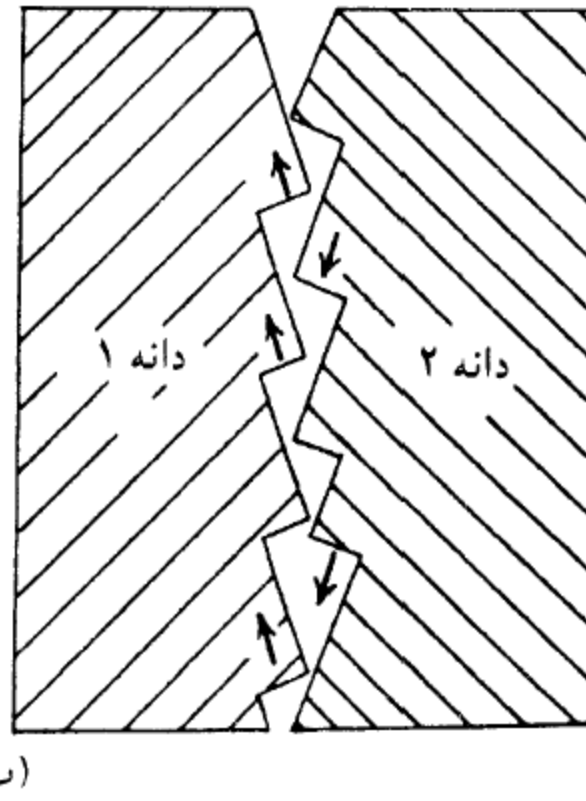
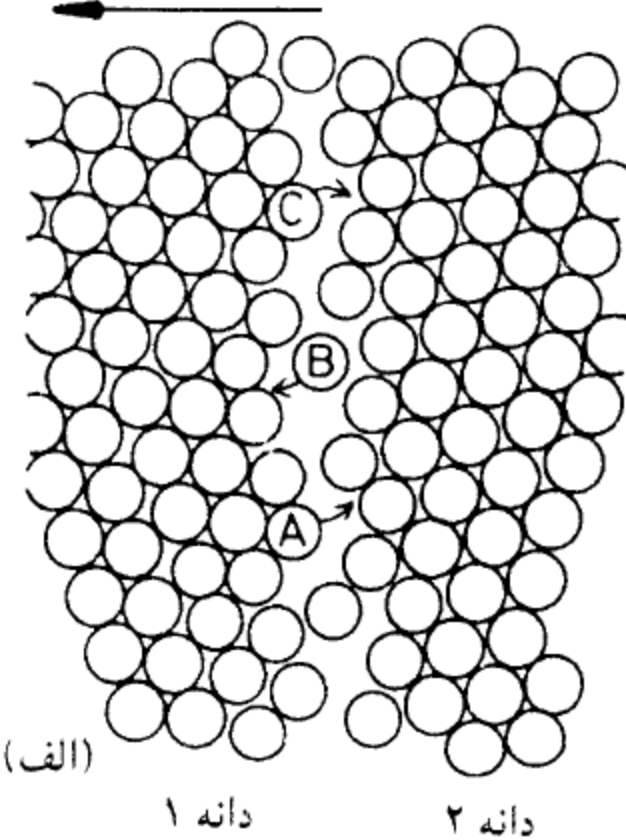


ناپدید می شود. اثری همانند نیز در فلزات رخ می دهد. در این مورد اتم های موجود در دانه هایی که رو به کوچکی می رود خود را از شبکه دانه تحت فشار ازاد می کند و با گذر از مرز دانه و جایگزینی خود در شبکه دانه رشد یابنده قرار می گیرد.

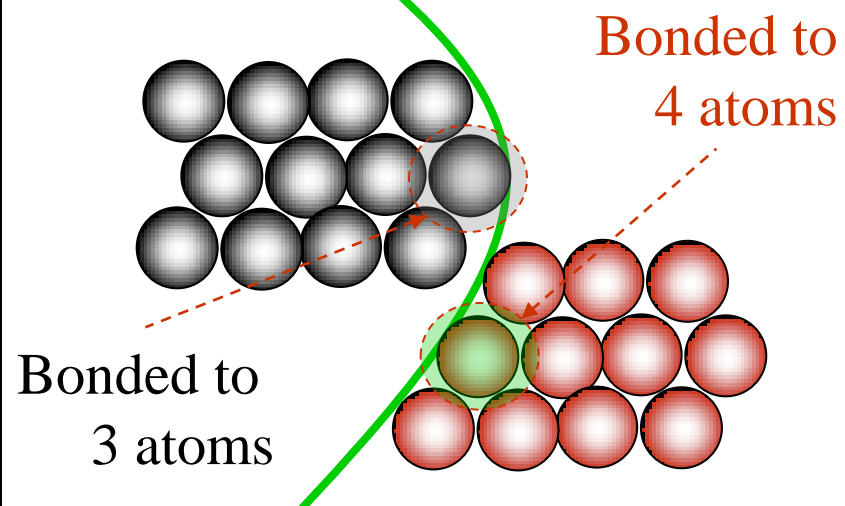


شکل ۳-۲۲: سلول های دو بعدی محلول صابون که فرآیند رشد دانه را نشان می دهد. اعداد زمان به دقیقه است \*.

## حرکت مرز

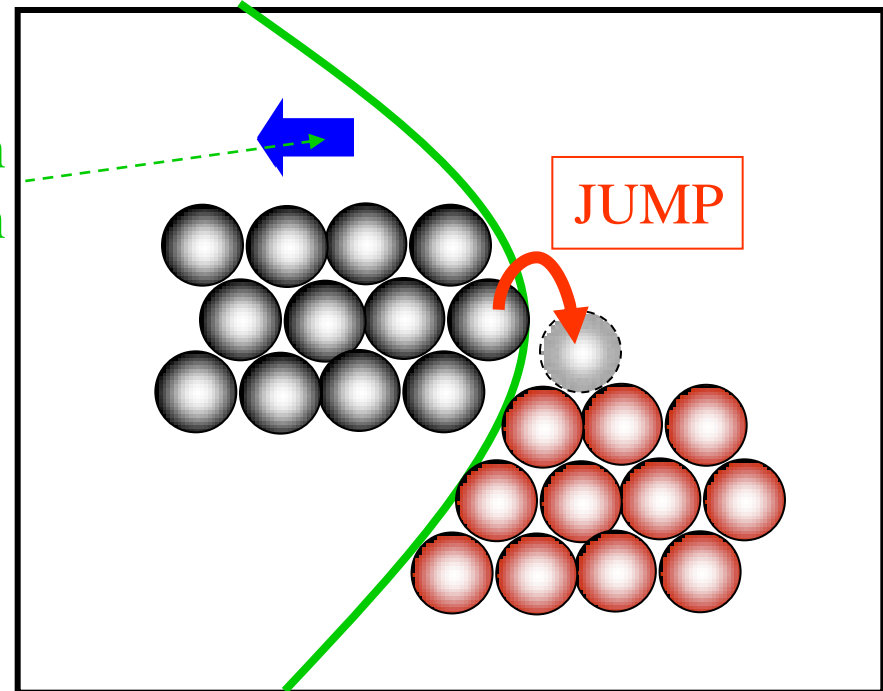


شکل ۳-۲۳: (الف) سازوکار اتمی حرکت مرزها. چنانچه سرعت پرش از دانه  $\rightarrow$  ۱ بزرگ تر از  $\rightarrow$  ۲ باشد مرز به سمت چپ حرکت می‌کند. توجه داشته باشید که در حجم آزاد درون مرز، برای روشنی بیشتر، اغراق شده است. (ب) ساختار پله‌ای که در آن صفحه‌های متراکم به درون مرز کشیده شده است.



Direction of grain boundary migration

Boundary moves towards its centre of curvature



### ۴-۳: سطوح مشترک بین فازی در جامدات

در بخش گذشته درباره ساختار و خواص مرزها، بین بلورهای یک فاز جامد گفتگو شد. در این بخش درباره مرزهای بین فازهای جامد گوناگون بحث خواهیم کرد. پنین مرزهایی هنگامی

به دست می آید که دو بلور در تماس با هم، ساختار بلوری متفاوت و یا ترکیب شیمیایی متفاوت داشته باشد.

مرزهای بین فازی در جامدات از نظر ساختار اتمی به سه گروه تقسیم می شود: همبسته<sup>۱</sup> و نیمه همبسته<sup>۲</sup> و ناهمبسته.

### ۱-۴-۳ همبستگی سطح مشترک

#### سطح مشترک کاملاً همبسته<sup>۳</sup>

هرگاه دو بلور در صفحه سطح مشترک کاملاً با یکدیگر همخوانی داشته باشد، به طوری که دو شبکه در سرتاسر سطح مشترک پیوستگی داشته باشد، فصل مشترک همبسته به دست می آید (شکل ۳-۳۲). این امر فقط در صورتی امکان پذیر است که بدون در نظر گرفتن شیمی ذرات، در صفحه سطح مشترک، آرایش اتمی دوفاز یکسان باشد و باقی است این امر آن است که دو بلور نسبت به هم درجهت مناسبی قرار گرفته باشد. برای مثال، چنین سطح مشترکی بین فاز hcp سرشار از سیلیسیم K و

فاز  $\alpha$  غنی از مس در آلیاژهای Cu-Si ایجاد می شود. پارامتر شبکه این دو فاز به گونه ای است که صفحه  $fcc (111)$  و صفحه  $hcp (0001)$  یکسان باشد. این دو صفحه، صفحه های پردازشیته<sup>۴</sup> است و در این مثال خاص، فاصله بین اتم ها نیز یکسان است (شکل ۳-۳۳). بنابراین هنگامی که دو بلور در امتداد صفحه های متراکم و در جهت موازی جهت پردازشیته به یکدیگر متصل شود، فصل مشترک کاملاً همبسته ایجاد می شود. با استه قرار گرفتن صفحه ها و جهت های پردازشیته به طور موازی با هم است که بین دو فاز رابطه آرایش بلوری زیر برقرار شود.

$$(111)_{\alpha} // (0001)\kappa$$

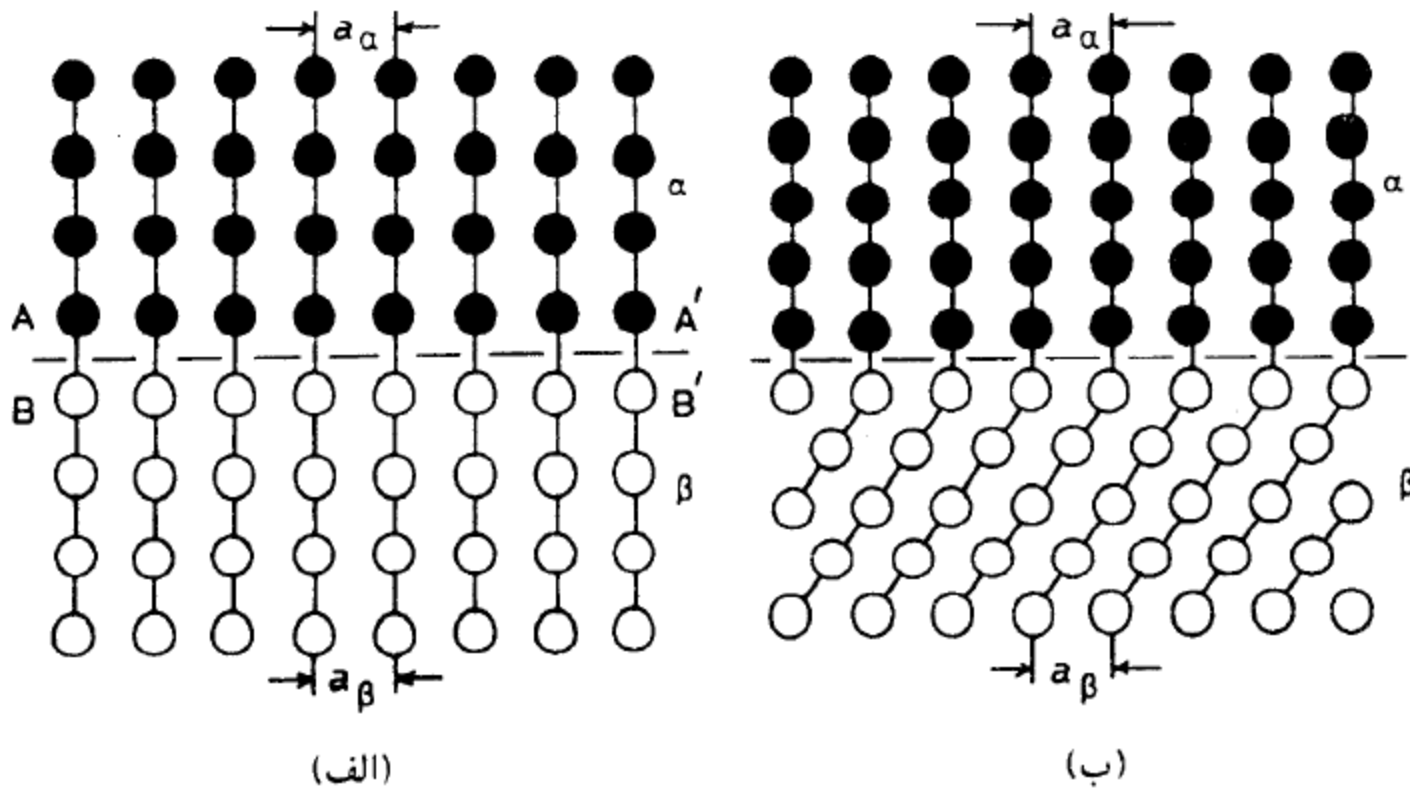
$$[\bar{1}10]_{\alpha} // [11\bar{2}0]\kappa$$

توجه داشته باشید که رابطه آرایش بلوری همیشه با وجود دو صفحه موازی ( $hkl$ ) و دو جهت موازی  $[uvw]$  در این صفحه ها مشخص می شود.

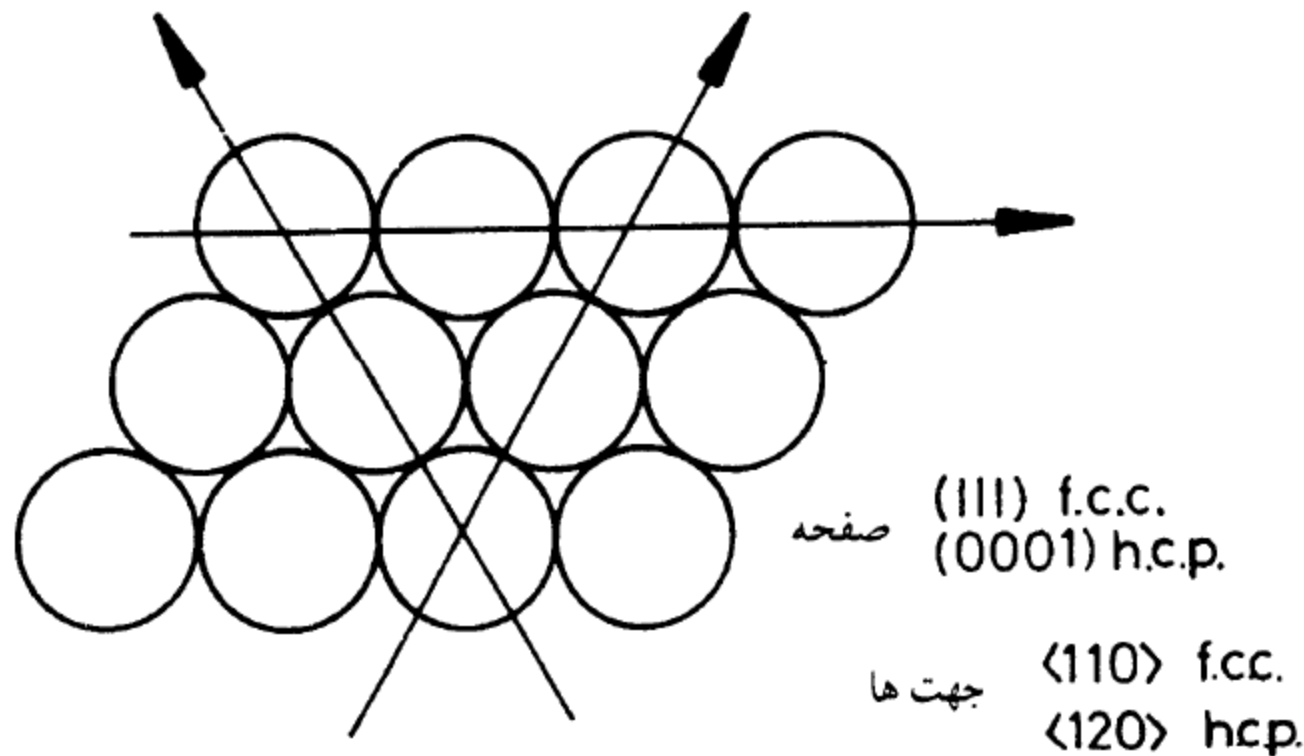
در هر فاز، هر اتم آرایش و نظم بهینه ای از نزدیکترین اتم های همسایه را دارد، تا انرژی پایینی ایجاد کند. اما در سطح مشترک معمولاً تغییر در ترکیب شیمیایی وجود دارد، به طوری که هر اتم تا

- 
- |                 |                 |                              |
|-----------------|-----------------|------------------------------|
| 1. Coherent     | 2. Semicoherent | 3. Fully coherent interfaces |
| 4. Close-packed |                 |                              |

حدی با اتم های همسایه ناهمنام اتصال برقرار می سازد.



شكل ۳-۳۲: سطوح مشترک همبسته بدون کرنش (الف) هر بلور یک ترکیب شیمیایی متفاوت دارد، اما ساختار بلوری آنها یکسان است. (ب) دو فاز شبکه های بلوری متفاوت دارد.



شکل ۳-۳۳: صفحه و جهت‌های پردازشی در ساختارهای  $hcp$  ،  $fcc$  .

این امر به افزایش انرژی اتم های سطح مشترک می انجامد ، بخشی از انرژی سطح مشترک از این امر ناشی می شود ( $\gamma_{ch}$ ). برای سطح مشترک همبسته فقط همین بخش ایجاد می شود، یعنی

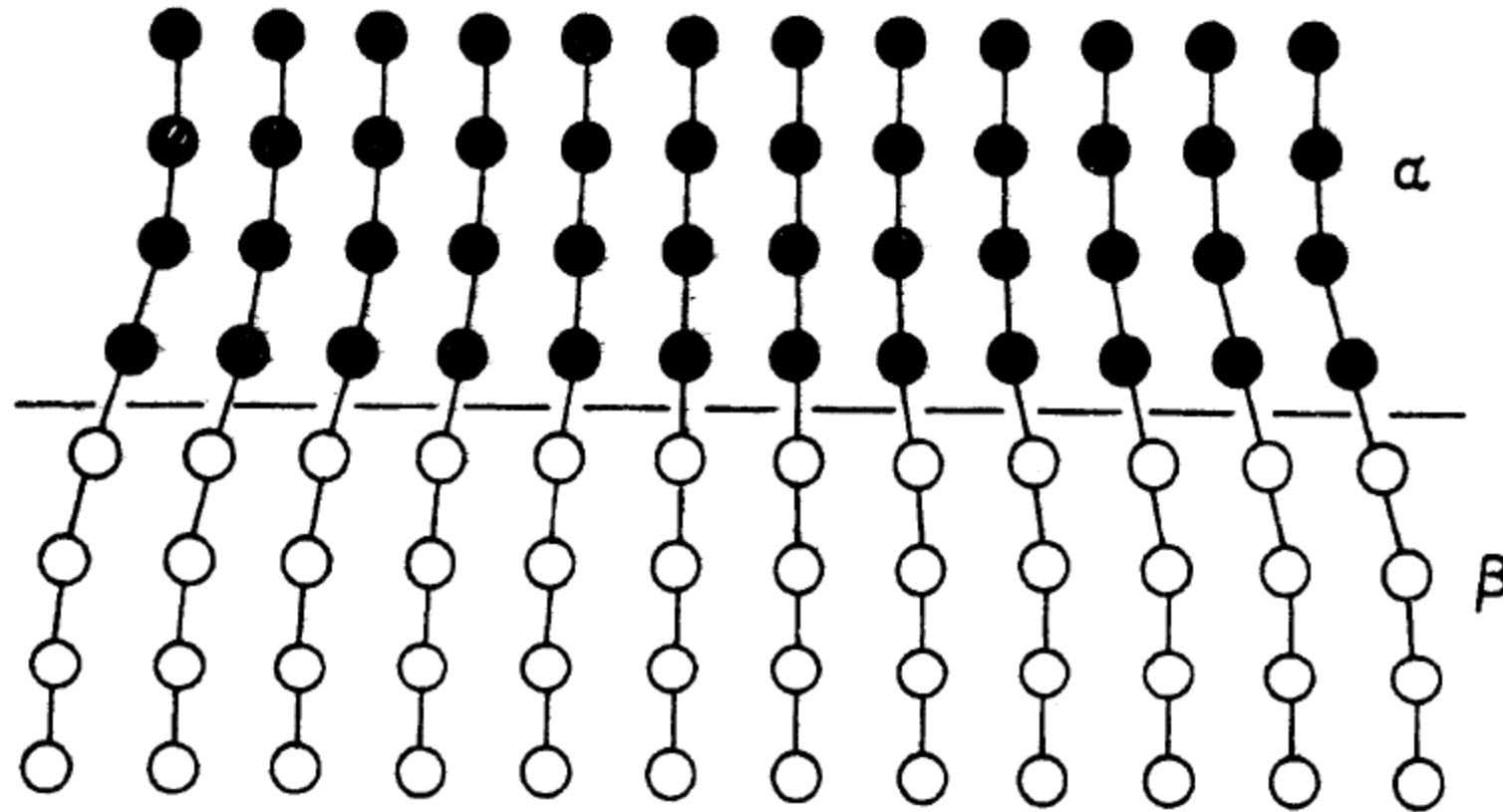
$$\gamma = \gamma_{ch} \quad (3-29)$$

در مورد سطح مشترک  $\text{K} - \alpha$  در آلیاژهای  $\text{Cu} - \text{Si}$  اثری سطح مشترک پایین و نزدیک به  $1 \text{ mJ m}^{-2}$  تخمین زده شده است. معمولاً اثری سطح مشترک همبسته در گستره‌ای تا  $200 \text{ mJ m}^{-2}$  قرار دارد.

در مورد سطح مشترک hcp/fcc فقط یک صفحه وجود دارد که می‌تواند یک سطح مشترک همبسته ایجاد کند و هیچ صفحه یکسان دیگری در دو شبکه بلوری وجود ندارد. اما اگر دو فاز مجاور دارای ساختار بلوری و پارامتر شبکه‌ای یکسان باشد و فقط از نظر ترکیب شیمیایی تفاوت داشته باشد، تمام صفحه‌های شبکه‌ای یکسان است.

هنگامی که فاصله بین اتم‌ها در سطح مشترک یکسان نباشد، سطح مشترک همبسته به وسیله تغییر شکل در یک یا دو شبکه می‌تواند ایجاد شود که در شکل ۳-۳۴ نشان داده شده است. تغییر شکل ایجاد شده در شبکه را به نام کرنش یا تغییر شکل همبستگی<sup>۱</sup> می‌شناسند.

## 1. Coherency strain



شکل ۳-۳۴: سطح مشترک همبسته با اندکی ناهمخوانی در دو شبکه که به کرنش همبستگی در دو شبکه مجاور هم منجر می شود.

سطح مشترک نیمه همبسته<sup>۱</sup>

کرنش همراه با سطح مشترک همبسته، انرژی کل سیستم را افزایش می‌دهد و هرگاه ناهمخوانی دو شبکه به اندازه کافی بزرگ باشد، یا مساحت سطح مشترک همبسته به وسیله سطح مشترک نیمه همبسته تعویض و جایگزین شود و در این صورت ناهمخوانی به وسیله نابجایی ناهمخوان<sup>۲</sup> جذب و کاهش می‌یابد (شکل ۳-۳۵).

اگر  $a_\alpha$  و  $a_\beta$  به ترتیب پارامترهای شبکه  $\alpha$  و  $\beta$  در حالت تحت تنش باشند، ناهمخوانی (۸) بین دو شبکه به صورت زیر تعریف می‌شود:

$$\delta = \frac{a_\beta - a_\alpha}{a_\alpha} \quad (3-30)$$

می‌توان نشان داد که در شبکه یک بعدی، یا ایجاد یک سری نابجایی‌های لبه‌ای، ناهمخوانی شبکه‌ای می‌تواند کاملاً از بین برود، بدون اینکه هیچ میدان کرنش بزرگی به وجود آید. فاصله بین نابجایی‌ها  $D$  از رابطه زیر به دست می‌آید:

$$D = \frac{\alpha\beta}{\delta} \quad (3-31)$$

برای  $\delta$  کوچک به صورت تقریب داریم:

$$D \approx \frac{b}{\delta} \quad (3-32)$$

که  $b = (a_\alpha + a_\beta)/2$  بُردار برگر نابجایی است، در این حالت همخوانی در سطح مشترک تقریباً برقرار است، بجز در پیرامون مرکز نابجایی ها که ساختار بلوری بسیار اعوجاج داشته و صفحه های اتمی ناپیوستگی دارد.

در عمل ناهمخوانی معمولاً در دو بعد وجود دارد، در این صورت میدان های کرنشی همبستگی به وجود آمده به وسیله دو سری نابجایی ناموازی با فاصله  $D_1 = b_1/\delta_1$  و  $D_2 = b_2/\delta_2$  جذب و خنثی می شود (شکل ۳-۳۶). اگر به دلایلی فاصله بین نابجایی ها بزرگ تر از آنچه باشد که از

رابطه ۳-۳۲ به دست می‌آید. بخشی از کرنش همبسته شدن به وسیله نابجایی‌های ناهمخوانی خنثی می‌شود و میدان‌های کرنشی بزرگ باقی مانده همچنان وجود خواهد داشت.

انرژی سطح مشترک نیمه همبسته از دو بخش تشکیل شده است: (الف) ناشی از اختلاف نوع اتم‌ها،  $\gamma_{ch}$ ، همانطور که برای سطح مشترک همبسته بیان شد و (ب)  $\gamma_{st}$ ، که انرژی اضافی ناشی از اعوجاج ساختار ناشی از نابجایی‌های ناهمخوانی است، پس

$$\gamma = \gamma_{ch} + \gamma_{st} \quad (\text{نیمه هم بسته}) \quad (3-33)$$

معادله ۳-۳۲ نشان می‌دهد که با افزایش  $\delta$  فاصله بین نابجایی‌ها کم می‌شود. برای مقادیر کم  $\delta$  بخش ساختاری انرژی،  $\gamma_{st}$  تقریباً متناسب با دانسیته نابجایی‌ها در سطح مشترک است، بنابراین:

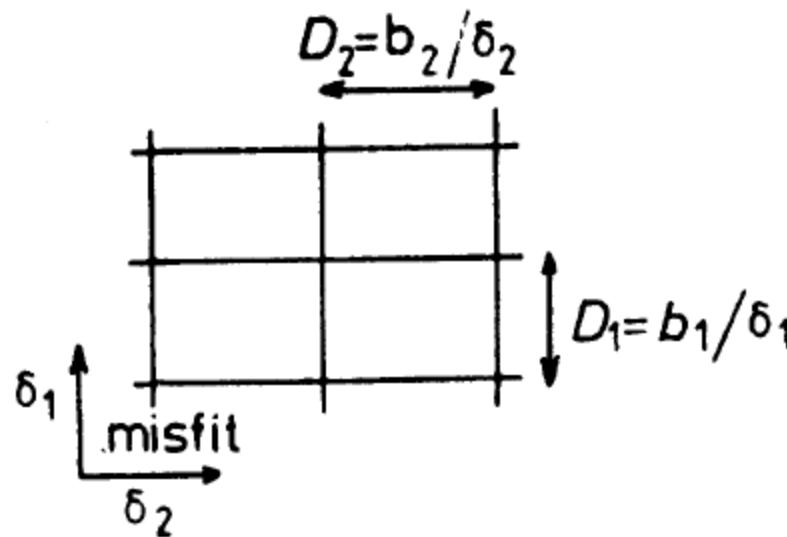
$$\gamma_{st} \propto \delta \quad (\text{برای مقادیر کم } \delta) \quad (3-34)$$

اما  $\gamma_{st}$  با افزایش  $\delta$  با سرعت کمتری افزایش می‌یابد و در صورتی که  $0.25 \leq \delta \leq \gamma_{st}$  تقریباً به آستانه‌ای معین می‌رسد که همانند تغییرات انرژی مرز دانه با  $\theta$  است که در شکل ۳-۹ نشان داده شده است. دلیل چنین رفتاری این است که همراه با کاهش فاصله بین نابجایی‌ها میدان کرنشی ناشی از نابجایی‌ها با یکدیگر برخورد کرده و یکدیگر را خنثی می‌کند. انرژی سطح مشترک نیمه همبسته معمولاً در گستره  $mJ\ m^{-2} 500 - 2000$  است.

وقتی  $\delta > 0.25$  یعنی یک نابجایی به ازاء هر چهار فاصله بین صفحه‌های اتمی موجود باشد، مناطق پیرامون مرکز نابجایی که دارای همخوانی ضعیفند با یکدیگر تداخل می‌کند و سطح مشترک را نمی‌توان همانند فصل مشترک همبسته دانست، بلکه سطح مشترک ناهمبسته ایجاد می‌شود.

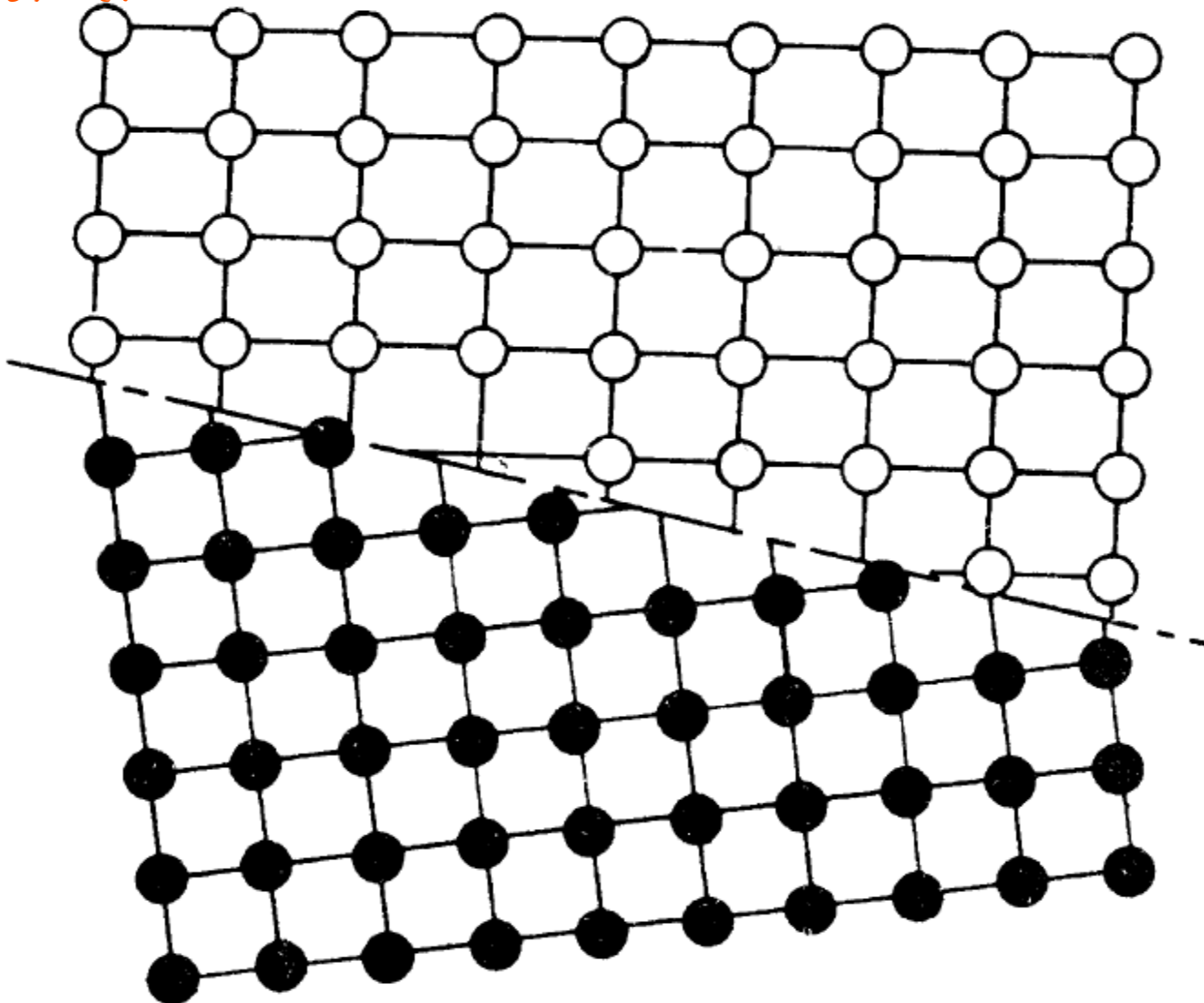
## سطح مشترک ناهمبسته

هرگاه صفحه سطح مشترک دو فاز مجاور هم از نظر نظم اتمی اختلاف زیادی داشته باشد هیچگونه همخوانی در سطح مشترک بین دوفاز نمی‌تواند ایجاد شود. آرایش اتم‌ها در دوفاز ممکن است بسیار متفاوت باشد و یا در صورت یکسان بودن، فاصله بین اتم‌ها ممکن است اختلافی بیش از ۲۵ درصد داشته باشد. در هر دو حالت به سطح مشترک، ناهمبسته می‌گویند.



شکل ۳-۳۶: ناهمخوانی در دو جهت ( $\delta_1$  و  $\delta_2$ ) به وسیله دو سری نابجایی پله‌ای با فاصله  $D_2 = b_2 / \delta_2$  و  $D_1 = b_1 / \delta_1$  می‌تواند خنثی و جذب شود.

معمولًاً فصل مشترک ناهمبسته هنگامی به وجود می‌آید که دو بلور به طور اتفاقی نسبت به یکدیگر مرتب شده، در عرض هر سطح مشترک با یکدیگر اتصال یابد. همچنانکه در شکل ۳-۳۷



شكل ۳-۳۷: سطح مشترک ناهمبسته

نشان داده شده است. اگر سطح مشترک در دو فاز ساختار متفاوتی داشته باشد روابط بلوری<sup>۱</sup> معلوم نیز بین بلورها ممکن است به وجود آید.

اطلاعات بسیار اندک درباره ساختار اتمی سطح مشترک ناهمبسته وجود دارد، اما خصوصیات این سطوح مشترک همانند مرز دانه های با زاویه زیاد است. برای مثال آنها دارای انرژی بالایی ( $500-1000 \text{ mJ m}^{-2}$ ) بوده که نسبتاً به صفحه سطح مشترک حساس نیست. این سطوح مشترک احتمالاً ساختار اتمی نامنظم دارد که برخلاف سطوح مشترک همبسته و نیم همبسته بدون تناوب طولانی است و دانه های با زاویه زیاد، ممکن است ساختار همانند پله ای داشته باشد که در اثر بروز در صفحات با اندیس پایین در سطح مشترک ایجاد می شود، همانند شکل ۳-۳۲، ب.

---

## 1. Orientation relationship